

**Research Paper****Spatial Pattern of Physical Resilience of Rural Settlements in Amlash County Against Landslides****Khalil Mehrzad<sup>1</sup>, \*Eisa Pourramzan<sup>2</sup>, Nasrollah Molaei Hashjin<sup>3</sup>**

1. PhD Candidate, Department of Geography, Faculty of Humanities, Rasht Branch, Islamic Azad University, Rasht, Iran.

2. Assistant Professor, Department of Geography, Faculty of Humanities, Rasht Branch, Islamic Azad University, Rasht, Iran.

3. Professor, Department of Geography, Faculty of Humanities, Rasht Branch, Islamic Azad University, Rasht, Iran.

**Citation:** Mehrzad, Kh., Pourramzan, E., & Molaei Hashjin, N. (2024). [Spatial Pattern of Physical Resilience of Rural Settlements in Amlash County Against Landslides (Persian)]. *Journal of Rural Research*, 15(1), 32-53, <http://dx.doi.org/10.22059/jrur.2023.364059.1866>**doi:** <http://dx.doi.org/10.22059/jrur.2023.364059.1866>

Received: 19 Aug. 2023

Accepted: 14 Nov. 2023

**ABSTRACT**

In this research, the physical resilience of the rural settlements of Amlash County against landslides was investigated using hierarchical analysis, weighted summation, and overlap index. Then, the spatial pattern of the resilience of the villages was determined using spatial statistics indicators. For this purpose, ten criteria of slope, distance from fault, building quality, materials and materials, building life, seismicity, geology, the direction of slope, width of passages, and height were used in order of importance. Also, two methods of local Moran's I statistic and hot spot analysis (G\* Gettys-Ord) were used to identify patterns. The results showed that the physical resilience of rural settlements against landslides varies from very low to very high. Villages with very high resilience are in the northeastern region, and towns with very low resilience are in the northwestern region and the plains. They are located in the foothills of Amlash County. In the mountainous area of the County, villages with low and medium resilience were also visible in all three investigated models. In this regard, the results of the local population statistics show the presence of high-high (HH) and low-low (LL) clusters in the northeast and northwest of the studied area, and these patterns have also appeared in the villages of the plains and foothills. Also, the existence of hot and cold hot spots in the northeast and northwest of the County has been proven, and with three positive and negative standard deviations at the 99% confidence level, they have been shown in the plains and foothills. Most of the counties' villages have moderate resilience to landslides, and their random behavior was confirmed by local Moran's I statistics and hot spot analysis. In total, the points of villages with high and low resilience with high-high and low-low cluster patterns of local Moran's I and hot and cold spots of G\* Gettys-Ord in all three models of hierarchical analysis, weighted summation, and matching overlap index were.

**Key words:**

Physical resilience,  
Criteria, Hierarchical analysis model,  
Spatial pattern,  
Amlash County

**Extended Abstract****1. Introduction****R**

esilience against natural hazards means resistance when facing natural hazards caused by environmental and social

pressures. Environmental components such as height and slope, slope direction, soil, geology, and land use are among the biophysical components of resilience, and socio-economic conditions are also among the social elements of resilience. In Iran, out of the 40 hazards identified, 31 of them occur. Therefore, Iran is a country that is very vulnerable to natural disasters, so 37.7% of its total

**\* Corresponding Author:****Eisa Pourramzan, PhD****Address:** Department of Geography, Faculty of Humanities, Rasht Branch, Islamic Azad University, Rasht, Iran.**Tel:** +98 (911) 3427240**E-mail:** pourramzan@iaurasht.ac.ir

area is at risk of natural disasters, and 70% of the country's population lives in disaster-prone areas. Landslides are among the most common natural phenomena and are one of the most destructive types of erosion on the slopes. They disrupt nature's water and soil system, destroy vegetation and agricultural lands, cause sedimentation, accelerate erosion, etc. Therefore, the issue of environmental hazards and their planning and management is considered a fundamental principle and an inevitable necessity for settlements in rural areas.

## 2. Methodology

To identify the spatial pattern of physical resilience of the rural settlements of Amlash County against landslides, natural and human indicators that were effective in resilience were used first. For this purpose, a survey of experts identified criteria and sub-criteria affecting the strength of rural settlements in this area. The criteria and sub-criteria were finalized after the review. In addition to selecting ten main criteria, the sub-criteria were determined. The resilience of each criterion was divided into three sub-criteria: high, medium, and low. In addition, the impact of each criterion on the final resilience of rural settlements was determined according to the specific importance and the preference code of each sub-criterion, which changes from higher preference to lower preference (7, 5, and 3). The geographical territory of the present study is Amlash County in Gilan province, which has two parts, Rankuh and Central, with 145 villages.

## 3. Results

In this research, the spatial pattern of the physical resilience of settlements in 145 villages of Amlash County against landslides was investigated and analyzed using three methods: hierarchical analysis (AHP), weighted summation (WS), and overlap index (IO). For this purpose, ten criteria of the slope, distance from the fault, building quality, materials, and materials, building a life, seismicity, geology, the direction of slope, the width of passages, and height were used in order of importance. In this regard, the level of resilience of settlements in Amlash County using three models showed that villages with high resilience are located in the plains and foothills of the northeast of the County, and towns with low resilience are located in the plains and foothills of the northwest. They got. In the mountainous areas, most villages resisted landslides in all three models.

## 4. Discussion

The spatial model of the resilience of rural settlements by the local Moran index I method showed that the strength of the villages in the northeastern part of the city in the studied models of the high-high cluster pattern (HH) and the low-low cluster pattern (LL) in the sector The northwest is the one that is entirely compatible with rural areas with very high and very low resilience. Other rural areas in plains, foothills, and mountainous Amlash County did not follow a specific pattern and behaved randomly and senselessly. Likewise, the results obtained from analyzing hot spots ( $G^*$  Gettys -Ord) on the physical resilience of rural settlements in all three AHP, WS, and IO models confirm that the hot and cold spots of resilience are in the plains. There is a foothill in the northeast and northwest of the County. This importance was also confirmed at the 99% confidence level, with a standard deviation of 3 for hot and -3 for cold spots. Therefore, the center and central core of maximum and minimum resilience are located in the northern half of this County, so they are relatively close and at the same latitude. Therefore, villages' resilience conditions against landslides significantly differ between swamps, foothills, and mountain areas.

## 5. Conclusion

The results showed that the physical resilience of rural settlements against landslides varies from very low to very high. Villages with very high resilience are in the northeastern region, and towns with very low resilience are in the northwestern region and the plains. They are located in the foothills of Amlash County. In the mountainous area of the County, villages with low and medium resilience were visible in all three models. In this regard, the results of the I statistics of local morans indicate the presence of high-high (HH) and low-low (LL) clusters in the northeast and northwest of the studied area, and these patterns have also appeared in the villages of the plains and foothills. Also, the existence of hot and cold hot spots in the northeast and northwest of the County has been proven, and they have been shown to have three positive and negative standard deviations at the 99% confidence level in the plains and foothills. Most of the counties' villages have moderate resilience to landslides, and their random behavior was confirmed by local Moran's I statistics and hot spot analysis. Overall, the points of villages with high and low resilience were consistent with the pattern of high-high and low-low clusters of local Moran's I and hot and cold spots of  $G^*$  Gettys-Ord in all three models of hierarchical analysis, weighted sum, and overlap index.

## Acknowledgments

The article is taken from the first author's doctoral thesis in the Department of Geography, Faculty of Humanities, Islamic Azad University, Rasht Branch.

## Conflict of Interest

The authors declared no conflicts of interest

## الگوی فضایی میزان تابآوری کالبدی سکونتگاه‌های روستایی شهرستان املش در برابر زمین‌لغزش

خلیل مهرزاد<sup>۱</sup>، عیسی پوررمضان<sup>۲</sup>، نصرالله مولائی هشجین<sup>۳</sup>

۱-دانشجوی دکتری، گروه جغرافیا، دانشکده علوم انسانی، واحد رشت، دانشگاه آزاد اسلامی، رشت، ایران.

۲-استادیار، گروه جغرافیا، دانشکده علوم انسانی، واحد رشت، دانشگاه آزاد اسلامی، رشت، ایران.

۳-استاد، گروه جغرافیا، دانشکده علوم انسانی، واحد رشت، دانشگاه آزاد اسلامی، رشت، ایران.

### حکم

تاریخ دریافت: ۱۴۰۲ مرداد ۷۸

تاریخ پذیرش: ۱۴۰۲ آبان ۲۳

در این پژوهش میزان تابآوری کالبدی سکونتگاه‌های روستایی شهرستان املش در برابر زمین‌لغزش به سه روش تحلیل سلسه‌مراتبی، جمع وزنی و شاخص همپوشانی بررسی شد و سپس با استفاده از شاخص‌های آمار مکانی، الگوی فضایی میزان تابآوری روستاهای تعیین گردید. بدین منظور از ۱۰ معیار شیب، فاصله از گسل، کیفیت ابنيه، مواد و مصالح، عمر ساختمن، لرزه‌خیزی، زمین‌شناسی، جهت شیب، عرض معابر و ارتفاع به ترتیب اهمیت استفاده شد. همچنین از دو روش آماره اموران محلی و تحلیل نقاط داغ (G-گتیس-اورد) برای شناسایی الگوها استفاده شد. نتایج نشان داد که میزان تابآوری کالبدی سکونتگاه‌های روستایی در مقابل زمین‌لغزش بین تابآوری خلیل کم تا خلیل زیاد متغیر بوده و روستاهای با تابآوری خلیل بالا در محدوده شمال شرقی و روستاهای با تابآوری خلیل پایین در محدوده شمال غربی و در بعضی جلگه‌ای و کوهپایه‌ای شهرستان املش قرار دارند. در ناحیه کوهستانی شهرستان نیز روستاهای با تابآوری کم و متوسط در هر سه مدل موردنرسی قبل مشاهده بودند. در این راستا نتایج آماره اموران محلی بیانگر وجود خوش بهلا- بالا (HH) و پایین - پایین (LL) در شمال شرقی و شمال غربی ناحیه موردمطالعه است که این الگوها در روستاهای ناحیه جلگه‌ای و کوهپایه‌ای نیز پدیدار شده‌اند. همچنین وجود نقاط داغ گرم و سرد در شمال شرق و شمال غرب شهرستان به اثبات رسیده و با انحراف معیار مشبت و منفی در سطح اطمینان ۹۹ درصد در ناحیه جلگه‌ای و کوهپایه‌ای نمایان شده‌اند. اکثر روستاهای شهرستان دارای تابآوری متوسط نسبت به پدیده زمین‌لغزش بوده و رفتار تصادفی آن‌ها توسط دو آماره اموران محلی و تحلیل نقاط داغ مورد تأیید قرار گرفت. درمجموع نقاط روستاهای با تابآوری بالا و پایین با الگوی خوشبای بالا - بالا و پایین - پایین اموران محلی و نقاط داغ و سرد G-گتیس-اورد در هر سه مدل تحلیل سلسه‌مراتبی، جمع وزنی و شاخص همپوشانی منطبق بودند.

### کلیدواژه‌ها:

تابآوری کالبدی، معیار، مدل تحلیل سلسه‌مراتبی، الگوی فضایی، شهرستان املش

و مخاطرات است. مخاطرات طبیعی این ظرفیت را دارند که در نبود سیستم‌های کاهش خطر، به سوانح هولناک و ویران‌کننده برای اجتماعات بشری تبدیل شوند. در سطح جهانی، تغییرات چشمگیری در نگرش به مخاطرات دیده می‌شود؛ به طوری که دیدگاه غالب از تمرکز صرف بر کاهش آسیب‌پذیری به افزایش تابآوری در مقابل سوانح تغییر پیدا کرده است. بر اساس این نگرش، برنامه‌های کاهش مخاطرات باید به دنبال ایجاد و تقویت ویژگی‌های جوامع تابآور باشند و در زنجیره مدیریت سوانح به مفهوم تابآوری نیز توجه کنند (Fakhrghazi et al., 2022: 310).

تعریف مختلفی برای تابآوری وجود دارد. این تعاریف در دامنه و پیچیدگی متفاوت است. فصل مشترک این تعاریف، تعریف تابآوری به عنوان توانایی یا ظرفیت برای مقابله با اختلال

### مقدمه

پدیده‌های طبیعی که در مجاورت انسان‌ها اتفاق می‌افتد و زندگی و سرمایه‌های اجتماعی و اقتصادی آن‌ها را تهدید می‌کنند، ممکن است باعث وقوع فاجعه شوند. مخاطرات طبیعی پدیده‌هایی هستند که تکوین و تشکیل آن‌ها ممکنی به حوادث طبیعی است و انسان می‌تواند در وقوع آن‌ها نقش تحریک‌کننده داشته باشد. این نوع از مخاطرات جزء خصوصیات ذاتی کره زمین بوده و به خاطر نحوه عملکرد در قلمرو سکونتگاه‌های انسانی، موجب کشتار، تخریب و خسارت‌های مستقیم و غیرمستقیم در تمامی ابعاد می‌شوند (Heidarimozaffar & Tajbakhsh, 2022: 58).

آسیب‌پذیری مشکلی برای جامعه است و از بیرون یعنی طبیعت به آن تحمیل می‌شود؛ یعنی علت عمدۀ آسیب‌پذیری، طبیعت

### \* نویسنده مسئول:

دکتر عیسی پوررمضان

نشانی: رشت، دانشگاه آزاد اسلامی، واحد رشت، دانشکده علوم انسانی، گروه جغرافیا.

تلفن: +۹۸ (۹۱۱) ۳۴۲۷۲۴۰

پست الکترونیکی: pourramzan@iaurasht.ac.ir

تأسفباری را در اثر وقوع مخاطرات طبیعی و انسانی داشته است. همچنین با توبوگرافی عمده‌کوهستانی، فعالیت زمین‌ساختی، لرزه‌خیزی زیاد، شرایط متنوع اقلیمی و زمین‌شناسی، از شرایط طبیعی لازم برای ایجاد طیف وسیعی از لغزش‌ها برخوردار است. بنابراین به همان نسبت که از موهبت کوهستانی بودن و نوع آب و هوایی پرهمند است، در معرض خطرات ناشی از آن نیز قرار دارد. زمین‌لغزه‌ها از جمله متداول‌ترین پدیده‌های طبیعی هستند که یکی از انواع مخرب فرسایش در دامنه‌ها است که برهم زننده سیستم آب‌وهوایی در طبیعت، تخریب پوشش گیاهی و زمینهای کشاورزی، رسوب‌زایی، تسریع فرسایش و غیره هستند. ازین‌رو موضوع مخاطرات محیطی و برنامه‌ریزی و مدیریت آن‌ها یک اصل اساسی و ضروری اجتناب‌ناپذیر برای سکونتگاه‌های نواحی روان‌سنجی محسوب می‌شود (Nouri & Nowrozi, 2016).

استان گیلان در شمال کشور، به دلیل موقعیت خاص جغرافیایی، تنوع آب و هوایی، ویژگی‌های محیطی متنوع و برخورداری از ۲۵۹۰ روستایی دارای سکنه، از مهم‌ترین نواحی کشور از نظر وقوع مخاطرات طبیعی نظری زلزله، سیل، خشکسالی، رانش، زمین‌لغزش... بوده و تغییر و تحول زیادی را در روند تحولات مساکن روان‌سنجی داشته است. فضای کالبدی روستاهای بگونه‌ای ساخته شده که خود را از محدوده‌های لغزشی در امان نگهارند. با این حال هر عامل تحریک‌کننده زمین‌لغزش مناطق دیگری از بافت روستاهای را چهار گسیختگی و تخریب می‌کند. تاب‌آوری رویکردی است که در بی پاسخ به نیازهای ناشی از تغییرات سریع و پیچیدگی‌های روزافزون روستاهای با چهار بعد اقتصادی، اجتماعی، کالبدی و نهادی مطرح شده و در مواجهه با ناشانه‌های و عدم قطعیت‌ها به کار می‌رود. در این میان تلاش برای دستیابی به شرایطی که در صورت وقوع بحران، بازگشت آن‌ها را به وضعیت پیش از بحران فراهم سازد و یا انعطاف‌پذیری آن‌ها را افزایش دهد، امری ضروری است. علاوه بر این، بررسی میزان تاب‌آوری سکونتگاه‌های روان‌سنجی در برایر زمین‌لغزش و تحلیل تفاوت‌ها و شباهت‌های آن‌ها از نظر فضایی بسیار مهم است. زیرا تاب‌آوری از لحاظ فضایی بسیار متغیر و منعطف بوده و شناسایی خوش‌ها و نقاط داغ یا سرد آن می‌تواند کمک شایانی به مدیریت بهتر نقاط آسیب‌پذیر در مقابل پدیده زمین‌لغزش بنماید. بنابراین هدف این پژوهش نیز تعیین الگوی فضایی حاکم بر تاب‌آوری کالبدی سکونتگاه‌های روان‌سنجی شهرستان املش در مواجهه با خطرات طبیعی می‌باشد.

## مروری بر ادبیات موضوع

زمین‌لغزش یکی از مهم‌ترین مخاطرات طبیعی زمین‌ساختی

و انتطباق جوامع بالاختلالات است. این اختلال انواع زیادی همچون بحران‌های سوانح و شوک را شامل می‌شود. تاب‌آوری به دلیل پویا بودن واکنش جامعه در برابر مخاطرات، نوعی آینده‌نگری است و به گسترش گزینش‌های سیاستی برای رویارویی با عدم قطعیت و تغییر کمک می‌کند که شامل ابعاد کالبدی، محیطی، اقتصادی و اجتماعی است (Kor et al., 2023: 205). تاب‌آوری توانایی یک سیستم، جامعه یا اجتماع در معرض مخاطرات از طریق مقاومت، جذب، سازگاری، انتطباق، تبدیل و بازیابی بهمکو مع و کارآمد اثرهای یک مخاطره برای حفظ و بازسازی ساختارهای اساسی آن از طریق مدیریت ریسک است. مطالعات موجود حاکی از آن است که تاب‌آوری در برابر مخاطرات طبیعی هنوز حول دو موضوع مقابله یا سازگاری در جریان است. به طور کلی، تاب‌آوری در برابر مخاطرات طبیعی را می‌توان به عنوان یک مسیر «جهش رویه‌جلو» در نظر گرفت. این مسیر نه تنها بر بازیابی، بلکه بر یادگیری از طریق تجربه مخاطره طبیعی نیز تمرکز دارد. با توجه به اینکه شدت و فراوانی مخاطرات طبیعی به طور مداوم در حال افزایش است صرفاً بازیابی کافی نیست. به عبارت دیگر، اگر تاب‌آوری در برابر خطرات طبیعی را به عنوان یک مسیر «بازگشت» در نظر گرفته شود بنابراین در درازمدت به یک پیامد ویرانگر تبدیل می‌شود. بنابراین در تاب‌آوری مفهوم «جهش به جلو» نیز به عنوان مفهوم اصلی باید در نظر گرفته شود (Frazier et al., 2013; Frigerio et al., 2016; Eidsvig et al., 2014; Zhou et al., 2014; Cutter et al., 2008).

تاب‌آوری در برابر مخاطرات طبیعی به معنای میزان مقاومت در هنگام مواجهه با خطرات طبیعی است، که در اثر مواجهه با فشارهای محیطی و اجتماعی ایجاد می‌شوند. مؤلفه‌های محیطی مانند ارتفاع، شب، جهت شب، خاک، زمین‌ساختی، کاربری اراضی در زمرة مؤلفه‌های بیوفیزیکی تاب‌آوری هستند. رویکرد تاب‌آوری در برابر مخاطره زمین‌لغزش، ابعاد گوناگون کالبدی، اجتماعی، اقتصادی و نهادی دارد. این پژوهش با توجه به سابقه، بافت و موقعیت جغرافیایی، بعد کالبدی تاب‌آوری با استفاده از شاخص‌های مسکن، شبکه معابر، میزان شب، جهت شب، فاصله از گسل، ارتفاع، لرزه‌خیزی و زمین‌ساختی مورد ارزیابی قرار گرفته و با استفاده از نرم‌افزار Arc GIS به منظور تعیین الگوی فضایی تاب‌آوری کالبدی سکونتگاه‌های روان‌سنجی شهرستان املش از سه روش تحلیل سلسه‌مراتبی (AHP)، جمع وزنی (WS) و شاخص همپوشانی (IO) استفاده شده است.

در کشور ایران، از تعداد ۴۰ مخاطره شناسایی شده، ۳۱ مورد آن رخ می‌دهد. بنابراین، ایران در زمرة کشورهایی است که آسیب‌پذیری بسیار زیادی در برابر سوانح طبیعی دارد، به طوری که ۳۷/۷ درصد از کل مساحت آن در معرض خطر سوانح طبیعی بوده و ۷۰ درصد از جمعیت کشور در مناطق در معرض سوانح سکونت دارند. لذا می‌توان گفت که ایران در بین ده کشور اول ساخته خیز دنیا قرار دارد (Farzad Behtash et al., 2013). این کشور به لحاظ شرایط طبیعی و جغرافیایی تاکنون تجربیات تلح و

و پنهانبندی خطر زمین‌لغزش با استفاده از روش‌های OWA و ANN در شهرستان پاوه پرداخته و به این نتیجه رسیده‌اند که عوامل شیب، کاربری اراضی، لیتولوژی و خاک، به ترتیب با ضریب وزنی،  $0.156$ ،  $0.143$ ،  $0.139$  و  $0.131$ ، بیشترین اهمیت را دریافت کردند. با توجه به خروجی مدل OWA، به ترتیب  $15/53$  و  $26/64$  درصد از منطقه در دو طبقه بسیار پرخطر و پرخطر قرار دارند و با توجه به خروجی شبکه عصبی  $19/88$  و  $29/82$  درصد از منطقه در طبقه بسیار پرخطر و پرخطر واقع شده است. مناطق بسیار پرخطر و پرخطر، بهطور عمده در شیب  $30-15$  درصد، کاربری زراعی، سازندگاه‌های نامقاوم و سست کواترنری و در خاک‌هایی با درصد زیاد رس و سیلت و مارن قرار دارند. درنهایت، با مقایسه دو روش، مشخص گردید که مدل OWA، دارای دقت بالاتری نسبت به روش ANN بوده است. انتظاری در سال  $1400$  به شناسایی پنهانه‌های خطرناشی از زمین‌لغزش در سکونتگاه‌های روزتایی شهرستان داراب پرداخته است. یافته‌ها نشان می‌دهد مناطق پرخطر منطبق با مناطق فاقد پوشش یا پوشش گیاهی کم، نزدیکی به آبراهه‌ها و گسل و شیب‌های بین  $20$  تا  $30$  درجه است. همچنین، نتایج بیان‌کننده آن است که حدود  $16$  درصد منطقه که بیشتر شامل شمال و شمال شرق و شمال غرب بوده در معرض خطر زیاد قرار دارند که  $101$  آبادی را در خود جای داده‌اند. تقریباً تمامی لغزش‌های قبلی در مناطق با خطر زیاد و خیلی زیاد اتفاق افتاده که نشان‌دهنده صحت مدل ANP در تهیه نقشه پنهانبندی بوده است. همچنین، بر اساس سطح زیر منحنی راک ( $AUC=0.834$ ) صحت نتایج به دست آمده مورد تائید قرار گرفت. پژوهش انتظاری و کردوانی (۲۰۲۲) در پنهانبندی خطر زمین‌لغزش با استفاده از روش‌های مبتنی بر GIS و داده‌های راداری در فریدون‌شهر اصفهان نشان داد که نقشه مناطق حساس و پرخطر منطقه فریدون‌شهر، هم‌پوشانی  $67$  درصد از سلول‌های مناطق با خطر خیلی زیاد و زیاد در نقشه‌های پنهانبندی خطر با سلول‌هایی از نقشه جابه‌جایی سطحی به دست آمده از پردازش تصاویر راداری سنتینل با بیشترین جابه‌جایی، را نشان می‌دهد. که می‌تواند بیانگر احتمال زمین‌لغزه و یا خطر زمین‌لغزه در این مناطق باشد.

رضایی و کاویانپور (۲۰۱۵) در ارزیابی میزان تاب‌آوری اجتماعی و کالبدی - محیطی در مواجهه با زلزله نشان دادند که بین تاب‌آوری موجود در محلات مشهد و سطح تاب‌آوری آن‌ها در بعد اجتماعی، کالبدی - محیطی رابطه معنی‌داری وجود دارد. این در حالی است که تاب‌آوری کل خانوارهای موردمطالعه  $64/77$  درصد است که می‌توان گفت در وضعیت متوسطی قرار دارند. پژوهش نوری و سپهوند (۲۰۱۶) در تحلیل تاب‌آوری سکونتگاه‌های روزتایی در برابر زلزله در دهستان شیروان شهرستان بروجرد حاکی از آن است که وضعیت تاب‌آوری رستاناها در برابر زلزله پایین‌تر از سطح متوسط بوده و تفاوت معنی‌داری در بین رستاناها وجود دارد. همچنین در

است. این پدیده نتیجه طیف گستره‌های از فرایندهای محیط‌زیست جغرافیایی است که شامل عوامل زمین‌شناسی، هواشناسی و انسانی است. به‌طور کلی عوامل وقوع زمین‌لغزش را می‌توان به چهار دسته کلی؛ عوامل زمین‌شناسی، عوامل ریخت‌شناسی، عوامل انسانی و مکانیسم‌های محرک تقسیم کرد. زمین‌لغزش یکی از مخرب‌ترین بلایای طبیعی هستند و باعث ایجاد تغییرات شدید در مورفو‌لوژی منظر و آسیب به سازه‌های طبیعی و مصنوعی روی زمین می‌شوند. زمین‌لغزش‌ها  $9$  درصد بلایای طبیعی را در یک دهه گذشته شامل شده و این آهنگ رو به رشد، در دهه‌های آتی نیز ادامه دارد (Asghrai Saraskanrood et al., 2021: 132). نتایج مطالعات نشان می‌دهد که اغلب خسارات ناشی از حوادث در مکان‌هایی به وقوع پیوندد که سکونتگاه‌های آسیب‌پذیر روزتایی در نزدیکی مناطق مستعد خطر نظیر سیلاب (Salehi et al., 2011)

در زمینه تحلیل فضایی تاب‌آوری کالبدی سکونتگاه‌های روزتایی در برابر مخاطرات طبیعی و به‌ویژه زمین‌لغزش مطالعات چندانی در سطح کشور انجام نشده است. لذا به نظر می‌رسد استفاده از رویکرد فضایی در تحلیل ابعاد مختلف تاب‌آوری کمک شایانی به پایش و مدیریت فضا بنماید. در این راستا، ابتدا برخی از مطالعات انجام‌شده در مورد زمین‌لغزش ارائه و سپس به پژوهش‌های صورت گرفته در زمینه تاب‌آوری کالبدی سکونتگاه‌های روزتایی در برابر مخاطرات طبیعی اشاره شده است.

فتوحی و همکاران (۲۰۱۳) در مکان‌یابی مناطق مستعد نسبت به لغزش در شمال نیشابور، اظهار می‌دارند که عامل شیب در این منطقه مهم‌ترین عامل زمین‌لغزش و زمین‌شناسی دو میان عامل مؤثر بر میزان زمین‌لغزش منطقه به شمار می‌آید. همچنین مناطق مستعد به لغزش این منطقه منطبق بر مناطق دارای لغزش است. میر سنجري و همکاران (۲۰۱۸) در پنهانبندی خطر وقوع زمین‌لغزش با استفاده از مدل LNRF در حوضه آبریز قمرود-الیگودرز نشان دادند که بیشترین سطح لغزش در سازندگاه‌های دربردارنده واحدهای مارن گچی و ماسه‌ای، شیل کربناته با میان لایه‌هایی از ماسه‌سنگ، شیل توفی و توف سبز و در طبقات شیب  $5-20$  درصد و در جهت شمالی به وقوع پیوسته است. همچنین در این منطقه میزان وقوع لغزش با فاصله از گسل‌ها رابطه مستقیم داشته است و نشان‌دهنده عدم تأثیر این گسل‌ها در وقوع لغزش در منطقه بوده است. انتظار می‌رود که بر پایه این نتایج، بهترین برنامه‌ریزی برای حوضه آبریز قمرود-الیگودرز به‌ویژه در راستای احداث سازه‌هایی نظیر راههای ارتباطی، ساخت و سازهای مسکونی و تأسیسات بهمنظور کاهش هزینه‌های محیط‌زیستی و اقتصادی صورت پذیرد. اصغری سراسکانرو و همکاران (۲۰۲۱) در پژوهشی به ارزیابی

در پژوهشی به تحلیل مکانی تابآوری نواحی روستایی دهستان دولت‌آباد شهرستان جیرفت در برابر زلزله پرداخته و نشان دادند که در بین شاخص‌ها، بیشترین ارزش وزنی راشاخص گسل اصلی و فرعی و کمترین ارزش را شاخص شاغلان ده سال و بیشتر به خود اختصاص دادند. همچنین میزان تابآوری روستاهای در برابر زلزله متفاوت بوده و از الگوی واحدی پیروی نمی‌کنند، به‌گونه‌ای که ۶۰ درصد از روستاهای در پنهانه با تابآوری زیاد و خیلی زیاد قرار داشته و روستاهایی که در محدوده با تابآوری خیلی زیاد قرار دارند، ۵۳ درصد از کل روستاهای محدوده موردمطالعه را در بر می‌گیرند. پژوهش **کجا و همکاران (۲۰۲۲)** در تحلیل فضایی میزان برخورداری جامعه محلی از شاخص‌های کالبدی-محیطی مؤثر بر تابآوری در برابر مخاطرات محیطی روستاهای منطقه سیستان نشان داد که میزان همبستگی چندگانه بین عوامل کالبدی - محیطی و تابآوری  $R^2 = 0.001$  بوده و بیانگر آن است که عوامل کالبدی - محیطی هیچ تأثیری بر تابآوری روستاییان در منطقه سیستان ندارد.

مطالعات انجام‌گرفته در زمینه الگوی فضایی میزان تابآوری سکونتگاه‌های روستایی در برابر مخاطرات طبیعی در خارج از کشور نیز حاکی از تنوع کارهای انجام‌شده در این زمینه است. در مقاله کمی‌سازی فضایی تابآوری جامعه در منطقه مزاریانی<sup>۱</sup> در زیماهه‌ای تکنیک تحلیل مؤلفه اصلی<sup>۲</sup> (PCA) برای تجزیه و تحلیل تابآوری استفاده و مشخص شد که تغییرات جغرافیایی در تابآوری جامعه در اکثر بخش‌های منطقه مزاریانی، پایین تا پایین تر از سطح کلی تابآوری است (Mavhura & Manyena, 2018). تابآوری معیشت روستایی از بعد اجتماعی، اقتصادی، محیطی و کالبدی در روستاهای ناحیه سایونگ<sup>۳</sup> اندونزی نشان داد که روستای سریولان<sup>۴</sup> دارای بالاترین امتیاز در بین مناطق روستایی تیمبولسلوکو<sup>۵</sup> با کمترین امتیاز تنها منطقه موردمطالعه با تابآوری معیشتی پایین است (Rudiarto et al., 2019). آخرین مطالعات در زمینه تابآوری، گرایش اندک در افزایش تابآوری روستایی چین را مورد تأیید قرار می‌دهد، به طوری که تابآوری روستایی در شرق چین که اقتصاد توسعه‌یافته‌ای دارد، بالاتر از چین مرکزی و غربی است. در مقایسه با تابآوری اجتماعی و تابآوری مهندسی، تابآوری اقتصادی عامل اصلی محدودیت برای تابآوری روستایی چین محسوب شده و این امر عمدتاً به خروج کارگران روستایی به شهرها نسبت داده می‌شود (Li et al., 2021) تحلیل الگوی فضایی رابطه بین آسیب‌پذیری و تابآوری در برابر مخاطرات طبیعی (شمال شرق تایوان) نشان

- 1. Muzarabani
- 2. Principal Component Analysis
- 3. Sayung
- 4. Sriwulan
- 5. Timbulsloko

بین ابعاد اقتصادی، اجتماعی، زیرساختی و سرمایه اجتماعی نواحی روستایی، بعد سرمایه اجتماعی سهم و تأثیر بیشتری در میزان تابآوری سکونتگاه‌های روستایی ایفا می‌کند. **عنابستانی و همکاران (۲۰۱۶)** در تحلیل فضایی سطح تابآوری سکونتگاه‌های روستایی بخش مرکزی شهرستان فاروج در برابر مخاطرات محیطی نشان دادند که بعد زیرساختی با میانگین ۲/۹۲ بیشترین و عوامل بعد اقتصادی با میانگین ۲/۵۸ کمترین تأثیر را در تابآوری روستاهای داشته است. همچنین مشخص شد از بین شاخص‌های موردمطالعه «میزان رضایت روستاییان از عملکرد شورا و دهیاری»، «نقش نهادها در آموزش مردم در مورد حوادث مختلف» و «استفاده از مصالح جدید و بادوام برای پیشگیری از اثرات مخرب حوادث» بیشترین اثر را در تابآوری روستاهای دارند. **نظری و همکاران (۲۰۱۸)** به تحلیل و سنجش تابآوری محیطی روستاهای حوضه آبخیز گرگان‌رود در مواجهه با سیل پرداخته و به این نتیجه رسیدند که بین مؤلفه‌های محیطی روستاهای منتخب و میزان تابآوری خانوارهای آن‌ها رابطه معنی‌داری وجود دارد. به‌گونه‌ای که میانگین تابآوری محیطی کل منطقه (۲/۷۶) پایین‌تر از حد متوسط است. همچنین ۷۱ درصد سکونتگاه‌های روستاهای نمونه در پنهانهای با میزان آسیب‌پذیری نسبتاً بالا و ۹ درصد آن‌ها در پنهانه با تابآوری نسبتاً مناسب از لحاظ فضایی قرار داشتند. **روستایی و همکاران (۲۰۱۹)** در ارزیابی میزان تابآوری کالبدی روستاهای تبریز در برابر زلزله نشان می‌دهند که ۲۰ درصد از اراضی روستاهای شهر تبریز از آسیب‌پذیری بسیار کم و ۸۰ درصد آن‌ها از آسیب‌پذیری بسیار زیاد در برابر زلزله برخوردار هستند. درنتیجه روستاهای شهر تبریز در برابر بحران از جمله زلزله به لحاظ کالبدی بهشت آسیب‌پذیر هستند. **پژوهش بذری و همکاران (۲۰۱۹)** در تحلیل فضایی تابآوری سکونتگاه‌های روستایی در برابر مخاطره زلزله در شهرستان مربیان نشان داد که روستاهای دارای بافتی با تابآوری پایین هستند که دلیل اصلی آن وضعیت نامناسب سکونتگاه‌ها از نظر عوامل درونی از جمله کیفیت پایین ساخت‌وساز و اسکلت نامناسب بنها در این مناطق است. همچنین از لحاظ فضایی نیز روستاهای موردمطالعه از تابآوری نامناسب و کاملاً نامناسبی در برابر با زلزله برخوردار هستند. **پژوهش خسروی مال امیری و همکاران (۲۰۲۰)** در تبیین الگوی تابآوری سکونتگاه‌های روستایی بخش دهدز شهرستان ایذه، بیانگر آن است که هر یک از ضرایب تأثیر شاخص‌های محیطی - طبیعی، اجتماعی - اقتصادی، نهادی - مدیریتی و کالبدی - فضایی بر تابآوری سکونتگاه‌های روستایی این ناحیه به ترتیب ۰/۱۹، ۰/۰۴، ۰/۷۳ و ۰/۲۵ است. بنابراین الگوی تابآوری سکونتگاه‌های روستایی این بخش در وضعیت مناسبی قرار داشته و در این الگو شاخص طبیعی نسبت به انسانی از وزن بالاتر و شاخص نهادی - مدیریتی که مستلزم اقدامات و کارایی سازمانی، نهادی و انسانی هستند، از وزن کمتری برخوردار بودند. **طیب نیا و ابراهیمی پور (۲۰۲۱)**

دسترسی به منابع، ظرفیت سازگاری فردی، تنوع معیشت، و اثربخشی معیار کاهش خطر بلایا در تابآوری در مقابل زلزله مهم هستند (Kwazu & Chang-Richards, 2022). درنهایت در مقاله «تفکر تابآوری در توسعه و مدیریت سکونتگاههای انسانی روستایی» در کشور زیمبابوه مشخص شد که می‌توان ایده‌های تابآوری را به عمل تبدیل و شیوه‌های تابآوری را در زمینه برنامه‌ریزی منطقه‌ای در زیمبابوه نظریه‌پردازی کرد. بدون شک، در یک چهارچوب یکپارچه برای اقتصاد فضایی کشور باید طیف وسیعی از مفاهیم، استراتژی‌ها و مدل‌های تابآوری را همراه با شیوه‌های اجرای سیاست‌های زیربنایی لحاظ کرد (Chirisa & Nel, 2022).

### روشن‌شناسی تحقیق

بهمنظور شناسایی الگوی فضایی تابآوری کالبدی سکونتگاههای روستایی شهرستان املش در برابر زمین‌لغزش، در ابتدا از شاخص‌های طبیعی و انسانی مؤثر در تابآوری استفاده شد. برای این کار، معیارها و زیرمعیارهای مؤثر بر تابآوری سکونتگاههای روستایی این ناحیه با نظرسنجی از متخصصین شناسایی گردید. معیارها و زیرمعیارها بعد از بررسی نهایی در جدول شماره ۱ آورده شده است. در این جدول علاوه بر انتخاب ۱۰ معیار اصلی، زیرمعیارها تعیین و همچنین میزان تابآوری هر معیار به سه زیرمعیار با تابآوری بالا، متوسط و کم تقسیم شد. علاوه بر این میزان تأثیر هر معیار در میزان تابآوری نهایی سکونتگاههای روستایی به ترتیب اهمیت مشخص و کد ترجیحی هر زیرمعیار تعیین گردید، که به ترتیب از ترجیح بالاتر به سمت ترجیح پایین‌تر (۷، ۵ و ۳) تغییر می‌کند.

در مرحله دوم برای تعیین میزان تابآوری سکونتگاههای روستایی شهرستان املش از سه روش تحلیل سلسنه‌مراتبی (AHP)، جمع وزنی (WS) و شاخص همپوشانی (IO) استفاده شد. در روش تحلیل سلسنه‌مراتبی بر اساس معیارهای موجود در سلسنه‌مراتب اولیه به عنوان استاندارد ارزیابی معیار در یک سلسنه‌مراتب، مقایسه زوجی بین معیارها برای تعیین اهمیت نسبی بین دو معیار انجام می‌شود. بدین ترتیب نسبت اهمیت معیارها با مقادیر  $\frac{1}{8}$ ،  $\frac{1}{4}$  تا  $\frac{1}{2}$  برای ۱، ۲ و ۹ تعیین می‌شود. در تحلیل سلسنه‌مراتبی، از شاخص سازگاری (C.I.) و نرخ ناسازگاری (I.R.) برای اندازه‌گیری سازگاری ماتریس مقایسه زوجی استفاده می‌شود. از این‌رو، ارزش ماتریس مقایسه زوجی تحت آزمون سازگاری قرار می‌گیرد تا سازگاری ماتریس مقایسه زوجی ساخته شده را آزمایش کند (Liang & Peng, 2017).

داد که توپوگرافی مهم‌ترین عامل تفاوت فضایی بوده و ارتفاع زیاد و شیب‌های تند در نواحی کوهستانی مانع اصلی توسعه اجتماعی و اقتصادی است. همچنین این وضعیت پیامدهای آسیب‌پذیری بالا و تابآوری پایین را به همراه دارد. سایر مناطق واقع در نواحی دشتی از توپوگرافی مطلوبی برای توسعه اجتماعی و اقتصادی برخوردار هستند و از آسیب‌پذیری کم و تابآوری بالا بهره می‌برند (Sung & Liaw, 2021). در همین راستا تابآوری سیستم سکونتگاههای انسانی روستایی<sup>۶</sup> به پایداری سیستم سکونتگاههای انسانی روستایی<sup>۷</sup> در چین اشاره دارد، یعنی توانایی یک سیستم برای جذب و انتباطق در مقابل آشفتگی‌ها و شوک‌های داخلی و خارجی با تنظیم ساختار، دور اندختن حالت غیرقابل اجرای اولیه تا بیشترین حد ممکن و ایجاد یک مسیر بازیابی جدید به حالت تعادل جدید دیگر است. ازین‌رو تعداد زیادی از روستاهای در ۳۰ استان چین بین سال‌های ۲۰۰۰ تا ۲۰۲۰ از بین رفته و تابآوری سیستم سکونتگاههای انسانی روستایی در شرق چین بالاتراز چین مرکزی و غربی است. همچنین مناطق شمال شرقی و شرقی چین به منطقه اصلی تکامل این شاخص تعلق دارند. تجزیه و تحلیل آشکارسازهای جغرافیایی نشان می‌دهد که اثر عوامل پایه محور در شاخص RHSSR به طور قابل توجهی با زمان کاهش و اثر عوامل هسته محور و عوامل خارجی افزایش می‌یابد و تأثیر دو عامل بیشتر از تک عامل است. در این میان، ساختار صنعتی (IS) تأثیر مهمی بر تفاوت مکانی سطح تابآوری سیستم سکونتگاههای انسانی روستایی دارد (Ge et al., 2022). تحلیل فضایی تابآوری اقتصادی کشاورزی در انگلستان و ولز بیانگر آن است که رویکرد فضایی - اقتصادی برای درک جغرافیای تابآوری کشاورزی در سطوح زیر ملی مفید بوده و می‌تواند برای کمک به تصمیم‌گیری و تدوین استراتژی‌ها برای ترویج کشاورزی پایدار ارزشمند باشد (Berry et al., 2022). بررسی تطبیقی تابآوری مناطق شهری و روستایی شهرستان چیایی<sup>۸</sup> تایوان در برابر تغییرات اقلیمی حاکی از آن است که برخی از قابلیت‌های تابآوری در شهر یا روستا متتمرکز وجود دارند. همچنین با استفاده از رگرسیون لجستیک باینری مشخص شد که مناطق شهری قابلیت‌های بر جسته‌تری در تابآوری زیرساخت‌ها (مقدار ضریب ۱/۳۳۹)، تابآوری ساختار سنی جامعه (۰/۶۹۴) و تابآوری اراضی سبز (۰/۰۳) دارند، در حالی که مناطق روستایی از نظر تابآوری استقلال اقتصادی ساکنان (۰/۰۳۹۸) و تابآوری دانش بومی (۰/۰۴۲۲) بر جسته‌تر هستند. در همین راستا نواحی شهری بیشتر به تابآوری ساختار اجتماعی - اقتصادی و مناطق روستایی بیشتر به دانش و استقلال اقتصادی خود وابسته هستند (Su et al., 2022). وارزیابی آمادگی معیشتی در برابر زلزله در کایکورای<sup>۹</sup> نیوزیلند نشان داد که چهار شاخص معیشتی یعنی

6. Rural Human Settlements System Resilience

7. Rural Human Settlements System

8. Chiayi

9. Kaikoura

جدول ۱. تعیین معیارها، زیرمعیارها و کدگذاری آن جهت تعیین میزان تابآوری سکونتگاه‌های روستایی در مقابل زمین‌لغزش.

ردیف	معیار	زیرمعیار	میزان تابآوری	کد ترجیحی
۱	شیب	تا ۲۰ درصد	بالا	۷
۱	شیب	۲۰ تا ۴۵ درصد	متوسط	۵
۱	شیب	بیشتر از ۴۵ درصد	کم	۳
۲	فاصله از گسل	بیشتر از ۲۰۰۰ متر	بالا	۷
۲	فاصله از گسل	۲۰۰۰ تا ۱۰۰۰ متر	متوسط	۵
۲	فاصله از گسل	کمتر یا مساوی ۱۰۰۰ متر	کم	۳
۳	کیفیت ابنيه	در حال ساخت و نوساز	بالا	۷
۳	کیفیت ابنيه	قابل سکونت و مرمتی	متوسط	۵
۳	کیفیت ابنيه	تخربی	کم	۳
۴	مواد و مصالح	بادوام	بالا	۷
۴	مواد و مصالح	نیمه بادوام	متوسط	۵
۴	مواد و مصالح	کم‌بادوام	کم	۳
۵	عمر ساختمان	تا ۱۰ سال	بالا	۷
۵	عمر ساختمان	۱۰ تا ۳۰ سال	متوسط	۵
۵	عمر ساختمان	بیشتر از ۳۰ سال	کم	۳
۶	لرزه‌خیزی	پهنه با خطر متوسط	بالا	۷
۶	لرزه‌خیزی	پهنه با خطر نسبتاً بالا	متوسط	۵
۶	لرزه‌خیزی	پهنه با خطر بالا	کم	۳
۷	زمین‌شناسی	سازند مقاوم	بالا	۷
۷	زمین‌شناسی	سازند نیمه مقاوم	متوسط	۵
۷	زمین‌شناسی	سازند نامقاوم	کم	۳
۸	جهت شیب	جنوب شرق، جنوب، جنوب غرب و هموار	بالا	۷
۸	جهت شیب	شرق و غرب	متوسط	۵
۸	جهت شیب	شمال، شمال شرق و شمال غرب	کم	۳
۹	عرض معاابر	بیشتر از ۱۲ متر	بالا	۷
۹	عرض معاابر	۱۲ تا ۸	متوسط	۵
۹	عرض معاابر	مساوی یا کمتر از ۸ متر	کم	۳
۱۰	ارتفاع	جلگه‌ای	بالا	۷
۱۰	ارتفاع	کوهپایه‌ای	متوسط	۵
۱۰	ارتفاع	کوهستانی	کم	۳

فصلنامه پژوهش‌های روستایی

منبع: یافته‌های تحقیق، ۱۴۰۲

جدول ۲. مقدار شاخص ناسازگاری.

۱۵	۱۴	۱۳	۱۲	۱۱	۱۰	۹	۸	۷	۶	۵	۴	۳	۲
۱/۵۹	۱/۵۷	۱/۵۶	۱/۴۸	۱/۵۱	۱/۴۹	۱/۴۵	۱/۴۱	۱/۳۲	۱/۱	۱/۱۲	۰/۹	۰/۵۸	۰/۰

فصلنامه پژوهش‌های روستایی

منبع: یافته‌های تحقیق، ۱۴۰۲

روستایی شهرستان املش در برابر زمین‌لغزش، از ۱۰ معیار اصلی انسانی و طبیعی مرتبط با مؤلفه کالبدی که می‌تواند در تشديد زمین‌لغزش و میزان تاب‌آوری سکونتگاه‌های روستایی مؤثر باشد استفاده شده است. این معیارها به ترتیب شامل کیفیت ابنيه، مواد و مصالح به کاررفته در سکونتگاه‌های روستایی، شبیه زمین به درصد، عرض معاپر داخلی روستاه، عمر ساختمان‌ها، ارتفاع از سطح دریا، فاصله از گسل‌های موجود، نوع سازند زمین‌شناسی، میزان لرزه‌خیزی و جهت شبیه هستند. هر کدام از معیارها نیز به زیرمعیارهای تقسیم می‌شوند که بیانگر چگونگی عملکرد آن معیار در طیف‌های مختلف است. به عبارت دیگر، هر معیار به زیرمعیار یا زیربخش‌هایی تقسیم می‌شود که میزان تأثیر و نقش آن زیرمعیار را در تاب‌آوری سکونتگاه‌های روستایی نشان می‌دهد. بدین ترتیب معیار کیفیت ابنيه به ۳ طبقه «در حال ساخت و نوساز (۰ تا ۱۰ سال)»، «قابل سکونت و مرمتی (۱۰ تا ۳۰ سال)»، و «تخریبی (بیشتر از ۳۰ سال)» تقسیم شد. در همین راستا، معیار مواد و مصالح بکار رفته در سکونتگاه‌های روستایی نیز به سه گروه «بادوام»، «تیمه بادوام» و «کم‌بادوام» طبقه‌بندی شد. به طوری که گروه بادوام در برگیرنده ساختمان‌هایی است که از مصالحی همچون سیمان، آجر و بلوک و اسکلت بتونی و فلزی استفاده کردند. همچنین گروه نیمه بادوام نیز شامل مصالحی همچون سیمان، آجر و بلوک و یا ترکیبی از آن‌هاست که بدون اسکلت بتونی یافلزی هستند و در گروه کم‌بادوام نیز ساختمان‌های خشتشی، خشت و چوب و چوبی قرار دارند. معیار سوم تبیین‌کننده تاب‌آوری کالبدی در مقابل پدیده زمین‌لغزش نیز شبیه انتخاب شد. زیرا هر چه شبیه افزایش یابد احتمال حرکت زمین و جدا شدن خاک از سنگ بستر اصلی بیشتر می‌شود. زیرا با افزایش شبیه نیروی تنشی خاک در راستای نیروی نقل زمین افزایش یافته و در صورت افزایش میزان آب خاک و اشباع شدن خاک از آب، نیروی برشی خاک متعاقباً افزایش و باعث جدا شدن آن از هسته اصلی خاک می‌شود. درنتیجه شبیه به ۳ طبقه «۰ تا ۲۰ درصد (تاب‌آوری بالا)»، «۲۰ تا ۴۵ درصد (تاب‌آوری متوسط)»، و «بیشتر از ۴۵ درصد (تاب‌آوری کم)» تقسیم شد. معیار چهارم نیز عرض معاپر در نظر گرفته شده است زیرا هر چه عرض معاپر داخلی روستا کمتر باشد خطر ناشی از زمین‌لغزش، مساکن روستایی را بیشتر تهدید کرده و درنتیجه میزان تاب‌آوری آن‌ها را کاهش می‌دهد. از این‌رو عرض معاپر به سه گروه «کمتر یا مساوی ۸ متر (تاب‌آوری کم)»، «بیشتر از ۸ و کمتر یا مساوی ۱۲ متر (تاب‌آوری متوسط)» و «بیشتر از ۱۲ متر (تاب‌آوری بالا)» طبقه‌بندی شد. معیار بعدی نیز عمر ساختمان در نظر گرفته شده است. استدلال در مورد این معیار آن است که با افزایش عمر ساختمان از مقاومت آن کاسته شده و احتمال صدمه دیدن آن در هنگام وقوع زمین‌لغزش بیشتر می‌شود. بدین ترتیب این معیار به سه زیرگروه ساختمان‌های «۰ تا ۱۰ سال (تاب‌آوری بالا)»، «۱۰ تا ۳۰ سال (تاب‌آوری متوسط)» و «بیشتر از ۳۰

برای شناسایی الگوی حاکم بر میزان تاب‌آوری روستاهای محدوده موردمطالعه نیز از شاخص اموران محلی و تحلیل نقاط داغ (گتیس اورد) استفاده شد. در این تحلیل اگر مقدار اثبات و معنی دار باشد بیانگر این است که مناطق موجود توسعه مناطق مشابه خود محاصره شده‌اند. مقادیر مثبت انشان دهنده این است که منطقه موردنظر با مقادیر مشخص توسعه مناطقی با مقادیر مشابه احاطه شده است (بالا-بالا یا پایین-پایین)، و به این‌گونه مناطق خوش گفته می‌شود. از طرف دیگر مقادیر منفی و معنی دار اثبات آن است که مناطق موردنظر توسعه مناطقی که از لحاظ ارزشی اصلاً شباهتی با یکدیگر ندارند احاطه شده است (بالا-پایین یا پایین-بالا)، که به این‌گونه مناطقی گفته می‌شود و وجود چنین مناطقی حاکی از همبستگی فضایی آمره گتیس-اورد<sup>(Alijani, 2018)</sup>. در همین راستا، از تحلیل مقادیر بالا یا پایین که به صورت خوش در فضای مناطقی می‌شوند، استفاده شد. آمار<sup>\*</sup> نوعی نمره Z محسوب می‌شود به طوری که نمرات Z مثبت، معنی داری آماری مقادیر بالا (نقاط داغ) و نمرات Z منفی، معنی داری آماری مقادیر پایین (نقاط سرد) را تأیید و نشان دهنده خوشبندی فضایی نقاط با مقادیر بالا و پایین هستند<sup>(W.S, & J.I, 2005)</sup>.

قلمرو جغرافیایی پژوهش حاضر شهرستان املش در استان گیلان است. شهرستان املش به مساحت ۴۰۴ کیلومترمربع در شرق استان گیلان و بین ۵۰ درجه، ۰۰ دقیقه و ۶۰ ثانیه تا ۵۰ درجه، ۱۷ دقیقه و ۱۶ درجه طول شرقی و ۳۶ درجه، ۴۸ دقیقه و ۴۳ ثانیه تا ۳۷ درجه، ۰۸ دقیقه و ۲۸ ثانیه شمالی واقع شده است. این شهرستان از سمت شمال و شرق به شهرستان رودسر، از جنوب به شهرستان سیاهکل و از سمت شمال غرب و غرب به شهرستان لنگرود محدود می‌شود. قسمت اعظم این شهرستان به ویژه در قسمت‌های جنوبی کوهستانی است. جمعیت شهرستان املش بر اساس آخرین سرشماری عمومی نفوس و مسکن در سال ۱۳۹۵ برابر ۴۳۲۲۵ نفر بوده که ۲۱۵۶۱ نفر آن را مرد و ۲۱۶۶۴ نفر آن را زن با ۱۵۳۰۶ خانوار تشکیل می‌دهند. این شهرستان دارای دو بخش رانکوه و مرکزی است. بخش رانکوه شامل یک شهر به نام رانکوه و سه دهستان به نام‌های سمام و کجید و شبکه‌سلاط است. بخش مرکزی شامل یک شهر به نام املش و دو دهستان به نام‌های املش شمالی و املش جنوبی است. املش دارای تعداد ۱۴۵ آبادی بوده که ۱۳۰ روستای آن دارای سکنه بوده و مابقی (۱۵ آبادی) خالی از سکنه است<sup>(Management and Planning Organization of Guilan Province, 2017)</sup>

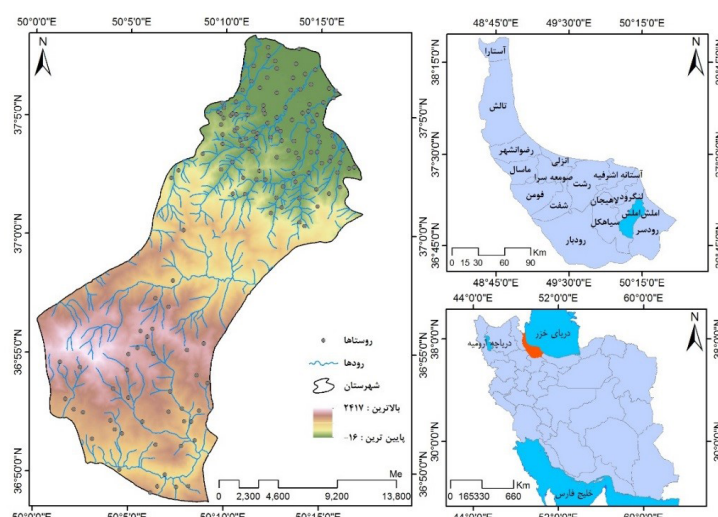
### یافته‌ها

به منظور تعیین الگوی فضایی میزان تاب‌آوری سکونتگاه‌های

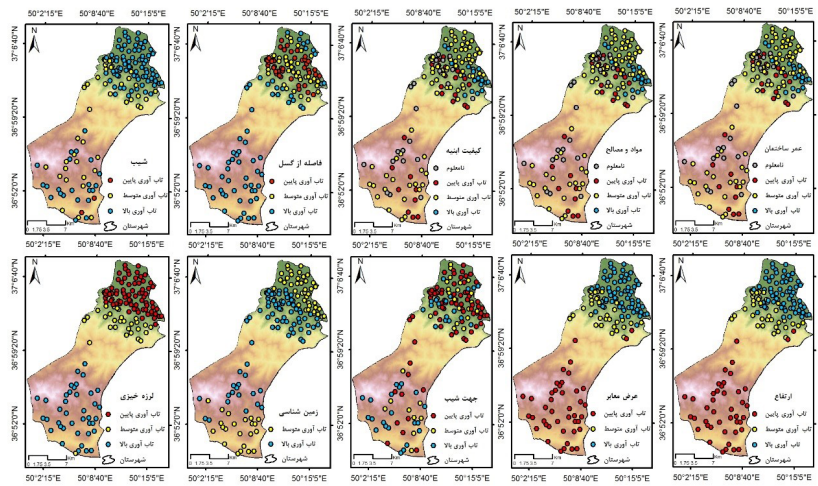
10. Getis-Ord

سنگ‌ها و قابلیت نفوذپذیریشان به سه دسته «سازندهای مقاوم (تاب آوری بالا)»، «سازندهای نیمه مقاوم (تاب آوری متوسط)» و «سازندهای نامقاوم (تاب آوری کم)» طبقه‌بندی شدند. معیار بعدی برای تعیین میزان تاب آوری سکونتگاه‌ها در مقابل زمین‌لغزش نیز جهت شیب انتخاب شد. جهت شیب در تعامل با شیب و همچنین تأثیر آن در میزان نورگیری و رطوبت خاک تأثیر بسزایی در زمین‌لغزش دارد، زیرا با توجه به عرض جغرافیایی شهرستان املش (۳۶°۳۶' عرض جغرافی) و قرارگیری در منطقه معتدل، میزان نورگیری دامنه‌های شمالی نسبت به دامنه‌های جنوبی کمتر بوده و اثر آن در فصل سرد سال به دلیل تمایل زاویه تابش خورشید، افت دما و بارش‌های منجمد بهویژه در مناطق کوهستانی باعث اشباع منافذ خاک از رطوبت شده و شرایط برای زمین‌لغزش در این موقع از سال نسبت به فصل گرم فراهم می‌شود. درنتیجه جهت شیب به سه طبقه «تاب آوری کم (جهت‌های شمال، شمال شرق و شمال غرب)»، «تاب آوری متوسط (جهت‌های شرقی و غربی)» و «تاب آوری بالا (جهت‌های جنوب شرق، جنوب، جنوب غرب و هموار)» طبقه‌بندی شد. میزان لرزه‌خیزی به عنوان آخرین معیار تاب آوری در نظر گرفته شد. که بر اساس این معیار منطقه موردمطالعه به سه ناحیه با «لرزه‌خیزی متوسط (تاب آوری بالا)»، «لرزه‌خیزی نسبتاً بالا (تاب آوری متوسط)» و «لرزه‌خیزی بالا (تاب آوری پایین)» طبقه‌بندی گردید. در تصویر شماره ۲، نقشه معیارها و زیرمعیارها بر اساس میزان تاب آوری روستاهای شهرستان املش نشان داده شده است. در این شکل توزیع و پراکنش میزان تاب آوری روستاهای در ناحیه جلگه‌ای، کوهپایه‌ای و کوهستانی به تفکیک معیارها و زیر معیارها قابل شناسایی است.

سال (تاب آوری کم) تقسیم شد. معیار ارتفاع از این جهت به عنوان یکی از معیارهای مؤثر در میزان تاب آوری کالبدی سکونتگاه‌های روستایی در نظر گرفته شد که تأثیر مستقیم بر سرعت دستررسی شهرهای پیرامونی جهت دسترسی به کمک‌های موردنیاز بعد از وقوع زمین‌لغزش دارد. بدین ترتیب ارتفاع به سه گروه مناطق جلگه‌ای با ارتفاع ۰ تا ۱۰۰ متر از سطح دریا (تاب آوری بالا)، مناطق کوهپایه‌ای با ارتفاع ۱۰۰ تا ۵۰۰ متر (تاب آوری متوسط) و مناطق کوهستانی با ارتفاع بیشتر از ۵۰۰ متر (تاب آوری کم) تقسیم شد. معیار فاصله از گسل‌های موجود که تأثیر مستقیم بر فرایند زمین‌لغزش در موقعی که زلزله اتفاق می‌افتد دارد به عنوان معیار بعدی در بررسی میزان تاب آوری سکونتگاه‌های روستایی شهرستان املش در نظر گرفته شد، به طوری که با افزایش فاصله از گسل بر میزان تاب آوری افزوده می‌شود. درنتیجه معیار فاصله از گسل به ۳ گروه تقسیم شد که گروه اول شامل روستاهایی است که در فاصله کمتر از ۱۰۰۰ متر قرار داشته و از تاب آوری کم برخوردار هستند. گروه دوم شامل سکونتگاه‌های روستایی واقع در فاصله ۱۰۰۰ تا ۲۰۰۰ متری گسل (تاب آوری متوسط) و گروه سوم نیز شامل روستاهایی است که در فاصله بیشتر از ۲۰۰۰ متری گسل قرار دارند و از تاب آوری بالایی برخوردار هستند. معیار هشتم میزان تاب آوری سکونتگاه‌های روستایی شهرستان املش نیز زمین‌شناسی منطقه در نظر گرفته شد. استدلال اصلی در مورد تأثیر سازند زمین‌شناسی بر میزان تاب آوری در مقابل فرایند زمین‌لغزش این است که در سازندهای سخت است که همراه با نفوذ آب باشد احتمال حرکت زمین در هماهنگی با افزایش شیب شدت می‌یابد و این مهم در مورد سازندهای سنگی پیوسته که نفوذناپذیر هستند کمتر است. بنابراین معیار زمین‌شناسی بر اساس میزان مقاومت



تصویر ۱. موقعیت جغرافیایی روستاهای شهرستان املش در سطح استان گیلان. منبع: نگارنده‌گان، ۱۴۰۲



تصویر ۲. میزان تابآوری روستاهای شهرستان املش نسبت به هر کدام از ۱۰ معیار مورد بررسی به روش تحلیل سلسه‌مراتبی (AHP). منبع: یافته‌های تحقیق، ۱۴۰۲

فصلنامه پژوهش‌های روستایی

درجه اهمیت دوم تا دهم قرار می‌گیرند. بعد از مقایسه زوجی و محاسبه ارجحیت معیارها نسبت به هم، نوبت به وزن نهایی معیارها می‌رسد. برای این کار ابتدا اعداد ارجحیت تمامی معیارها به صورت سطیری در هم ضرب شده و در ستون حاصل ضرب وزن‌ها درج می‌شود. سپس با محاسبه میانگین هندسی حاصل ضرب وزن‌ها، وزن نهایی نرمال نشده به دست می‌آید. لازم به ذکر است فرجه رادیکال برابر با تعداد لایه‌ها یا ۱۰ است. برای به دست آوردن وزن نهایی معیارها، وزن نهایی نرمال نشده بر میانگین وزن نهایی نرمال نشده تقسیم می‌گردد. درنتیجه وزن هر معیار در مدل نهایی جهت تعیین میزان تابآوری مشخص می‌شود.

برای تعیین میزان صحت اوزان باید مقدار بردار ویژه معیارها، شاخص سازگاری و نرخ ناسازگاری محاسبه گردد. بدین منظور در جدول شماره ۴<sup>۳</sup>، بعد از وزن نهایی نرمال شده معیارها، در مرحله اول مجموع حاصل ضرب هر سطر ماتریس در ستون بردار وزن با همان وزن نهایی نرمال شده محاسبه و در جدول با عنوان مرحله اول محاسبه بردار ویژه درج می‌گردد. سپس اعداد به دست آمده از مرحله اول بر وزن نهایی معیارها تقسیم می‌گردد. درنهایت با میانگین‌گیری از اعداد محاسبه شده در مرحله دوم، مقدار بردار ویژه برابر با  $10/118$  به دست آمد. درنتیجه شاخص سازگاری با استفاده از رابطه  $5 \times 0/0131$  با  $0/00879$  و نرخ ناسازگاری با استفاده از رابطه  $6 \times 0/0100$  به دست آمد. درنتیجه مقدار نرخ ناسازگاری کمتر از  $1/0$  بوده و بیانگر سازگاری در مقایسات زوجی است. از این روابط وزن معیارها مورد تأیید قرار می‌گیرد. چنانچه این عدد بزرگ‌تر از  $1/0$  باشد بیانگر سازگاری در مقایسات نبوده و اعتبار نظرات کارشناسی تأیید نمی‌گردد، در غیر این صورت باید در قضاوت‌ها تجدیدنظر کرد. نتایج محاسبات در جداول شماره ۳ و ۴<sup>۴</sup> رائه شده است.

بعد از تعیین میزان تابآوری هر روستا نسبت به معیار و زیر معیار معین، باید گفت که میزان تاثیر معیارها و زیرمعیارها در میزان تابآوری کل هر روستا متفاوت است. از این‌رو با استفاده از روش تحلیل سلسه‌مراتبی وزن هر معیار و زیر معیارهای برای در مدل نهایی تابآوری تعیین گردید. معیارهای موردنیاز برای تعیین تابآوری روستاهای شهرستان املش از منابع مختلف و با توجه به شرایط محیطی و انسانی حاکم بر منطقه اتخاذ شده است. بدین ترتیب معیارهای مورداستفاده در این پژوهش به ترتیب اهمیت نیز معیار شیب، فاصله از گسل، کیفیت ابنيه، مواد و مصالح، عمر ساختمان، لرزه‌خیزی، زمین‌شناسی، جهت شیب، عرض معابر و ارتفاع در نظر گرفته شد. در جدول شماره ۱، معیارهای مورداستفاده در این پژوهش به ترتیب اهمیت آورده شده است.

در این راستا، بعد از ارزش گذاری اولیه معیارها، باید میزان تأثیر هر معیار در مدل نهایی مشخص گردد. از این‌رو وزن هر معیار محاسبه شد. در جدول شماره ۳، مراحل محاسبه وزن نهایی معیارها آورده شده است. بدین منظور در ابتدا با مقایسه زوجی یا دو به دوی معیارها، وزن‌های اولیه یا میزان تأثیر اولیه معیارها نسبت به هم مشخص می‌شود. همچنین مقایسه ماتریسی به ابعاد  $n \times m$  ایجاد می‌شود که ماتریس فوق از نوع مربع است. ماتریس مقایسه‌ای در تحلیل سلسه‌مراتبی یک ماتریس معکوس است یعنی اگر ترجیح معیار اول به دوم باشد، عکس آن ترجیح یا معیار دوم به اول نیز  $\frac{1}{n}$  است. بر این اساس ترجیح هر معیار با خودش یک است. در این جدول معیارها بر اساس اهمیتشان در تابآوری سکونتگاه‌های روستاهایی نیز مرتب شده‌اند، به‌طوری که معیار شیب از بالاترین درجه اهمیت و سایر معیارها یعنی فاصله از گسل، کیفیت ابنيه، مواد و مصالح، عمر ساختمان، لرزه‌خیزی، زمین‌شناسی، جهت شیب، عرض معابر و ارتفاع به ترتیب در

جدول ۳. محاسبه وزن نهایی معیارها در ماتریس مقایسه زوجی.

وزن نهایی معیارها	شیب	شیب	فاصله از گسل	کیفیت ایندیه	مواد و مصالح	عمر ساختمان	لرزه‌خیزی	زمین‌شناسی	جهت شیب	عرض معتبر	ارتفاع	حاصل ضرب	وزن نهایی وزنها	برهمال شدیده	پیشگیری وزن	وزن نهایی معیارها
شیب	۱	۱/۵	۲/۵	۳	۳	۳	۴	۴	۴	۴/۵	۴/۵	۲۹۱۶۰	۲/۷۹۵۶	۱/۹۹۲۹	۱/۹۹۲۹	۰/۲۳۳۱
فاصله از گسل	۰/۶۶	۱	۲	۲/۵	۲/۵	۲/۵	۳/۵	۳/۵	۳/۵	۳/۵	۴	۳۵۳۷/۱۸	۲/۲۶۳۹	۱/۹۹۲۹	۱/۹۹۲۹	۰/۱۸۸
کیفیت ایندیه	۰/۴	۰/۵	۱	۲	۲	۲	۳	۳	۳	۳/۵	۱۵۱/۲	۱/۶۵۱۸	۱/۹۹۲۹	۱/۹۹۲۹	۰/۱۳۷۷	
مواد و مصالح	۰/۳۳	۰/۴	۰/۵	۱	۱/۵	۱/۵	۲/۵	۲/۵	۲/۵	۲/۵	۳	۶/۹۶۰۹	۱/۲۱۴۱	۱/۹۹۲۹	۱/۹۹۲۹	۰/۱۰۱۲
عمر ساختمان	۰/۳۳	۰/۴	۰/۵	۰/۶۶	۱	۱/۵	۲	۲	۲	۲/۵	۱/۳۰۶۸	۱/۰۲۷۱	۱/۹۹۲۹	۱/۹۹۲۹	۰/۰۸۵۶	
لرزه‌خیزی	۰/۳۳	۰/۴	۰/۵	۰/۶۶	۰/۶۶	۰/۶۶	۱	۱/۵	۱/۵	۱/۵	۲	۰/۱۹۴۱	۰/۸۴۸۸	۱/۹۹۲۹	۱/۹۹۲۹	۰/۰۷۰۸
زمین‌شناسی	۰/۲۶	۰/۲۸	۰/۳۳	۰/۴	۰/۵	۰/۶۶	۰/۶۶	۱	۱/۲۵	۱/۲۵	۱/۵	۰/۰۰۷۱	۰/۶۱۰۱	۱/۹۹۲۹	۱/۹۹۲۹	۰/۰۵۰۹
جهت شیب	۰/۲۵	۰/۲۸	۰/۳۳	۰/۴	۰/۵	۰/۶۶	۰/۶۶	۰/۸	۱	۱/۲۵	۱/۲۵	۰/۰۰۳۸	۰/۵۷۲۹	۱/۹۹۲۹	۱/۹۹۲۹	۰/۰۴۷۸
عرض معتبر	۰/۲۵	۰/۲۸	۰/۳۳	۰/۴	۰/۵	۰/۶۶	۰/۶۶	۰/۸	۱	۱/۲۵	۰/۰۰۲۴	۰/۵۹۷۹	۱/۹۹۲۹	۱/۹۹۲۹	۰/۰۴۵۷	
ارتفاع	۰/۲۲	۰/۲۵	۰/۲۸	۰/۳۳	۰/۴	۰/۵	۰/۶۶	۰/۸	۱	۰/۰۰۰۴	۰/۴۶۰۵	۱/۹۹۲۹	۱/۹۹۲۹	۰/۰۳۸۴		
مجموع												۱۱/۹۹۲۹	۱			

فصلنامه پژوهش‌های روان‌سنجی

منبع: یافته‌های تحقیق، ۱۴۰۲

جدول ۴. محاسبه بردار ویژه.

مقدار بردار ویژه	محاسبه بردار ویژه (محله اول)	محاسبه بردار ویژه (محله دوم)	وزن نهایی معیارها	ارتفاع	عرض معتبر	جهت شیب	زمین‌شناسی	لرزه‌خیزی	عمر ساختمان	مواد و مصالح	کیفیت ایندیه	فاصله از گسل	شیب	معیارها	
۱۰/۲۲۶	۲/۳۸۴	۰/۲۳۳۱	۰/۲۳۳۱	۴/۵	۴	۴	۴	۴	۳	۳	۲/۵	۱/۵	۱	شیب	
۱۰/۱۷۶	۱/۹۲۱	۰/۱۸۸	۰/۱۸۸	۴	۳	۳/۵	۳/۵	۲/۵	۲/۵	۲/۵	۰/۵	۰/۶۶	۱	فاصله از گسل	
۱۰/۲۲۳	۱/۴۰۸	۰/۱۳۷۷	۰/۱۳۷۷	۳/۵	۳	۳	۳	۳/۵	۱/۵	۱/۵	۰/۵	۰/۴	۰/۵	کیفیت ایندیه	
۱۰/۲۰۶	۱/۰۳۳	۰/۱۰۱۲	۰/۱۰۱۲	۲/۵	۳	۲/۵	۲/۵	۲/۵	۱/۵	۱/۵	۰/۵	۰/۳۳	۰/۴	مواد و مصالح	
۱۰/۰۹۵	۰/۸۶۵	۰/۰۸۵۶	۰/۰۸۵۶	۲/۵	۲	۱/۵	۱/۵	۱/۵	۱/۵	۱/۵	۰/۵	۰/۳۳	۰/۴	عمر ساختمان	
۱۰/۰۱۱۸	۰/۷۰۹	۰/۰۷۰۸	۰/۰۷۰۸	۲	۰/۰۷۰۸	۰/۰۷۰۸	۰/۰۷۰۸	۰/۰۷۰۸	۰/۰۷۰۸	۰/۰۷۰۸	۰/۰۷۰۸	۰/۰۳۳	۰/۴	لرزه‌خیزی	
۱۰/۰۶۳	۰/۵۱۲	۰/۰۵۰۹	۰/۰۵۰۹	۰/۰۵۰۹	۰/۰۵۰۹	۰/۰۵۰۹	۰/۰۵۰۹	۰/۰۵۰۹	۰/۰۵۰۹	۰/۰۵۰۹	۰/۰۵۰۹	۰/۰۲۶	۰/۴	زمین‌شناسی	
۱۰/۰۵۲	۰/۴۸۰	۰/۰۴۷۸	۰/۰۴۷۸	۰/۰۴۷۸	۰/۰۴۷۸	۰/۰۴۷۸	۰/۰۴۷۸	۰/۰۴۷۸	۰/۰۴۷۸	۰/۰۴۷۸	۰/۰۴۷۸	۰/۰۲۵	۰/۴	جهت شیب	
۱۰/۰۵۱	۰/۴۵۷	۰/۰۴۵۷	۰/۰۴۵۷	۰/۰۴۵۷	۰/۰۴۵۷	۰/۰۴۵۷	۰/۰۴۵۷	۰/۰۴۵۷	۰/۰۴۵۷	۰/۰۴۵۷	۰/۰۴۵۷	۰/۰۲۵	۰/۴	عرض معتبر	
۱۰/۰۱۷۹	۰/۰۳۸۴	۰/۰۳۸۷	۰/۰۳۸۷	۰/۰۳۸۷	۰/۰۳۸۷	۰/۰۳۸۷	۰/۰۳۸۷	۰/۰۳۸۷	۰/۰۳۸۷	۰/۰۳۸۷	۰/۰۳۸۷	۰/۰۲۲	۰/۴	ارتفاع	
مجموع															

فصلنامه پژوهش‌های روان‌سنجی

منبع: یافته‌های تحقیق، ۱۴۰۲

درصد)، ۲۱/۴ درصد در محدوده تابآوری متوسط و ۲۷/۶ درصد روستاهای در محدوده تابآوری بالا قرار دارند. همچنین با توجه به معیار عرض معاشر، ۴۳ روستا (۲۹/۷ درصد) دارای تابآوری کم، ۳۵ روستا (۲۴/۱ درصد) دارای تابآوری متوسط و ۶۷ روستا (۴۶/۲ درصد) دارای تابآوری بالا هستند. درنهایت ۴۳ روستا (۲۹/۷ درصد) از روستایی شهرستان املش از تابآوری کم، ۳۶ روستا (۲۴/۸ درصد) از تابآوری متوسط و ۶۶ روستا (۴۶/۲ درصد) از تابآوری بالا نسبت به معیار ارتفاع برخوردار بودند.

درنهایت با اجرای مدل تحلیل سلسنه‌مراتبی (AHP)، جمع وزنی (WS) و شاخص همپوشانی (O) در نرمافزار Arc GIS و با لحاظ کردن وزن معیارها و زیرمعیارها مدل نهایی میزان تابآوری سکونتگاه‌های روستایی شهرستان املش در برابر پدیده زمین‌لغزش مشخص شد. وزن زیرمعیارها یا زیرطبقات هر معیار در شرایط تابآوری بالا برابر با ۷، تابآوری متوسط برابر با ۵ و در شرایط تابآوری کم برابر با ۳ در نظر گرفته شده است ([جدول شماره ۲](#)). به عبارت دیگر کد ۷، ۵ و ۳ بیانگر ترجیحات درون معیاری است که برای تمامی معیارها لحاظ شده و فقط معیار زمین‌شناسی نیز از محدوده تابآوری کم که دارای ترجیح ۳ است برخوردار نبوده است. [تصویر شماره ۳](#)، مدل نهایی میزان تابآوری روستاهای شهرستان املش را برای هر سه روش نشان می‌دهد.

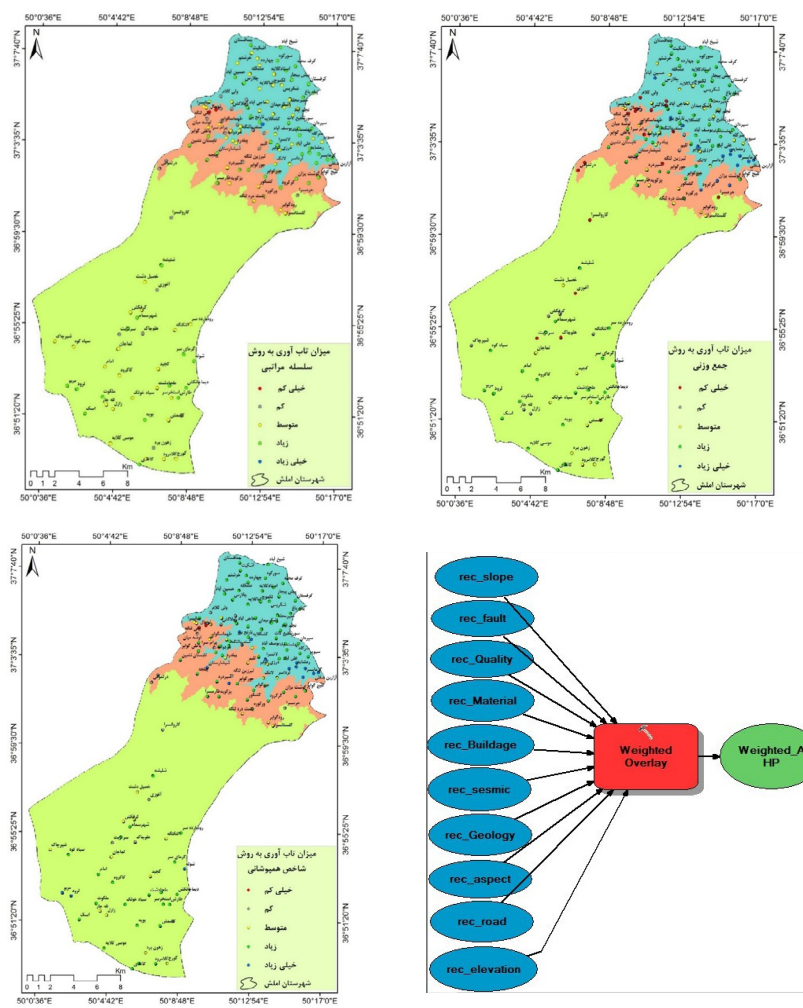
در [جدول شماره ۵](#) تعداد و درصد روستاهای با تابآوری مختلف به تفکیک معیارها آورده شده است. با توجه به معیار شبب، ۱/۴ درصد از روستاهای دارای تابآوری کم، ۲۸/۳ درصد دارای تابآوری متوسط و ۷۰/۳ درصد دارای تابآوری بالا هستند. در همین راستا، درصد روستاهای با تابآوری کم، متوسط و بالا به ترتیب برابر با ۲۹ و ۴۵/۵ و ۲۵/۵ درصد نسبت به معیار فاصله از گسل تعیین گردید. کیفیت اینیه روستاهای بیانگر آن است که از ۱۴۵ روستایی شهرستان املش، ۲۵ روستا (۱۷/۲ درصد) تابآوری کم، ۷۶ روستا از تابآوری متوسط و ۲۰ (۵۲/۴ درصد) روستا از تابآوری بالا هستند. درصد تابآوری روستاهای در برابر معیار مواد و مصالح و عمر ساختمان نیز مشابه معیار کیفیت اینیه است. البته باید گفت که ۲۴ روستا در هر سه معیار کیفیت اینیه، مواد و مصالح و عمر ساختمان دارای شرایط نامعلوم بودند که سهم آن‌ها در مدل نهایی لحاظ شده است. معیار لرزه‌خیزی نشان می‌دهد که در حدود ۷۷ روستا (۵۳/۱ درصد) دارای تابآوری کم، ۲۹ روستا (۲۰ درصد) دارای تابآوری متوسط و ۳۹ روستا (۲۶/۹ درصد) دارای تابآوری بالا هستند. از لحاظ زمین‌شناسی شهرستان املش دارای سازندهای نیمه‌ مقاوم و مقاوم بوده و ۶۴ روستای آن (۴۴/۱ درصد) در محدوده تابآوری متوسط و ۸۱ روستا (۵۵/۹ درصد) در محدوده تابآوری بالا قرار دارد. در رابطه با معیار جهت شبب بیش از نیمی از روستاهای این شهرستان در محدوده تابآوری کم (۵۱)

جدول ۵. تعداد و درصد روستاهای با تابآوری کم، متوسط و بالا با توجه به معیارهای کالبدی در شهرستان املش.

معیارها	نامعلوم									
	فرابانی	درصد								
شبب	۰	۰	۰	۰	۰	۰	۰	۰	۰	۰
فاصله از گسل	۰	۰	۰	۰	۰	۰	۰	۰	۰	۰
کیفیت اینیه	۰	۰	۰	۰	۰	۰	۰	۰	۰	۰
مواد و مصالح	۰	۰	۰	۰	۰	۰	۰	۰	۰	۰
عمر ساختمان	۰	۰	۰	۰	۰	۰	۰	۰	۰	۰
لرزه‌خیزی	۰	۰	۰	۰	۰	۰	۰	۰	۰	۰
زمین‌شناسی	۰	۰	۰	۰	۰	۰	۰	۰	۰	۰
جهت شبب	۰	۰	۰	۰	۰	۰	۰	۰	۰	۰
عرض معابر	۰	۰	۰	۰	۰	۰	۰	۰	۰	۰
ارتفاع	۰	۰	۰	۰	۰	۰	۰	۰	۰	۰

فصلنامه پژوهش‌های روستایی

منبع: یافته‌های تحقیق، ۱۴۰۲



تصویر ۳. مدل نهایی میزان تاب آوری روستاهای شهرستان املش نسبت به پدیده زمین‌لغزش با استفاده از روش تحلیل سلسه‌مراتبی (AHP)، جمع وزنی (WS) و شاخص همپوشانی (IO). منبع: یافته‌های تحقیق، ۱۴۰۲

فصلنامه پژوهش‌های روانی

با تاب آوری متوسط به پایین در ناحیه جلگه‌ای (۲۷/۰۸) درصد بیشتر از دو ناحیه دیگر (۱۶/۶۶ و ۱۹/۴۴) بوده و این مهم در مورد روستاهای با تاب آوری زیاد و خیلی زیاد هم صدق می‌کند. با توجه به سهم روستاهای واقع در هر سه ناحیه یعنی ۴۶/۹۱، ۲۲/۶ و ۲۸/۴۴ درصد، نتیجه‌گیری فوق دور از انتظار نخواهد بود.

در جدول شماره ۷ نیز فراوانی و درصد فراوانی میزان تاب آوری روستاهای شهرستان املش به روش جمع وزنی (WS) نشان می‌دهد که از ۱۰۰ درصد روستاهای ۱۲/۵، ۲۵/۶۹، ۸/۳۳، ۴۳/۷۵ درصد زیاد و خیلی زیاد در ناحیه جلگه‌ای، کوهپایه‌ای و کوهستانی نتایج دقیق‌تری را به دست می‌دهد، به طوری که درصد روستاهای با تاب آوری خیلی کم، متوسط، زیاد و خیلی زیاد در ناحیه جلگه‌ای برابر با صفر، ۴/۱۶، ۲۲/۹۲ و ۰/۶۹ درصد، در ناحیه کوهپایه‌ای برابر با ۱/۳۹، ۶/۹۴، ۸/۳۳ و صفر درصد و در ناحیه کوهستانی برابر با صفر، ۴/۸۶، ۱۴/۵۸، ۹/۰۵ و صفر درصد از درصد کل، روستاهای شهرستان املش را در برمی‌گیرند. درنتیجه روستاهای

میزان تاب آوری روستاهای با روش تحلیل سلسه‌مراتبی در ۵ طبقه خیلی کم (ازش ۳)، کم (ازش ۴)، متوسط (ازش ۵)، زیاد (ازش ۶) و خیلی زیاد (ازش ۷) خلاصه شده است. با توجه به جدول شماره ۶، درصد روستاهای با تاب آوری خیلی کم، متوسط، زیاد و خیلی زیاد به ترتیب برابر با ۱/۳۹، ۱۵/۹۶، ۴۵/۸۳ و ۳۶/۱۳٪ محسوبه شد. به عبارت دیگر ۶۳/۱۸ درصد روستاهای این ناحیه دارای تاب آوری متوسط به پایین و ۳۶/۸۲ درصد آن‌ها دارای تاب آوری زیاد و خیلی زیاد هستند. همچنین توزیع درصد فراوانی تاب آوری روستاهای بر اساس قرارگیری آن‌ها در ناحیه جلگه‌ای، کوهپایه‌ای و کوهستانی نتایج دقیق‌تری را به دست می‌دهد، به طوری که درصد روستاهای با تاب آوری خیلی کم، متوسط، زیاد و خیلی زیاد در ناحیه جلگه‌ای برابر با صفر، ۴/۱۶، ۲۲/۹۲ و ۰/۶۹ درصد، در ناحیه کوهپایه‌ای برابر با ۱/۳۹، ۶/۹۴، ۸/۳۳ و صفر درصد و در ناحیه کوهستانی برابر با صفر، ۴/۸۶، ۱۴/۵۸، ۹/۰۵ و صفر درصد از درصد کل، روستاهای شهرستان املش را در برمی‌گیرند. درنتیجه روستاهای

میزان تابآوری روستاهای با تفکیک جلگه، کوهپایه و کوهستان نشان داد که از ۶۸/۰۶ درصد روستاهای با تابآوری زیاد و خیلی زیاد، ۴۰/۲۸ درصد آن در ناحیه جلگه‌ای، ۱۱/۱۱ درصد در ناحیه کوهپایه‌ای و ۱۶/۶۶ درصد روستاهای در ناحیه کوهستانی واقع هستند. بنابراین درصد روستاهای واقع در ناحیه جلگه‌ای نسبت به دو بخش دیگر بیشتر است. مقایسه سه مدل تحلیل سلسنه‌مراتبی (AHP)، جمع وزنی (WS) و شاخص همپوشانی (IO) بیانگر آن است که درصد روستاهای با تابآوری زیاد و خیلی زیاد به ترتیب برابر با ۳۶/۸۲، ۳۶/۸۲ و ۵۳/۴۸ و ۶۸/۰۶ بوده و در مدل شاخص همپوشانی تعداد روستاهای بیشتری در این محدوده قرار می‌گیرند. این مسئله نیز در مورد نواحی جلگه‌ای، کوهپایه‌ای و کوهستانی نیز صدق می‌کند.

درصد روستاهای با تابآوری بالا و خیلی زیاد در این شهرستان، ۳۱/۲۵ در ناحیه جلگه‌ای، ۸/۳۳ درصد در ناحیه کوهپایه‌ای و ۱۳/۸۹ درصد در ناحیه کوهستانی قرار دارند. بنابراین سهم روستاهای با تابآوری زیاد و خیلی زیاد در ناحیه جلگه‌ای نسبت به دو ناحیه دیگر خیلی بیشتر بوده و نشان از تابآوری بالای روستاهای این ناحیه نسبت به پدیده زمین‌لغزش دارد.

در جدول شماره ۸ نیز مانند دو جداول شماره ۶ و ۷، فراوانی و درصد فراوانی روستاهای با تابآوری خیلی کم تا خیلی زیاد آورده شده است. در مدل شاخص همپوشانی (IO) در حدود ۳۱/۹۴ درصد روستاهای شهرستان در محدوده تابآوری خیلی کم تا متوسط قرار دارند، و روستاهای با تابآوری زیاد و خیلی زیاد در مجموع برابر با ۶۸/۰۶ درصد هستند. همچنین بررسی

جدول ۶. توزیع فراوانی تابآوری روستاهای ناحیه جلگه‌ای، کوهپایه‌ای و کوهستانی شهرستان املش در برابر زمین‌لغزش به روش (AHP).

جمع	میزان تابآوری						ناحیه	روش
	خیلی زیاد	زیاد	متوسط	کم	خیلی کم			
۶۹	۱	۲۹	۳۳	۶	۰	تعداد	جلگه‌ای	تحلیل سلسنه‌مراتبی (AHP)
۴۷/۹۱	۰/۶۹	۲۰/۱۴	۲۲/۹۲	۴/۱۶	۰	درصد		
۳۳	۰	۱۰	۱۲	۱۰	۲	تعداد	کوهپایه‌ای	
۲۳/۶	۰	۶/۹۴	۸/۲۳	۶/۹۴	۱/۳۹	درصد		
۴۱	۰	۱۳	۲۱	۷	۰	تعداد	کوهستانی	
۲۸/۴۴	۰	۹/۰۵	۱۴/۵۸	۴/۸۶	۰	درصد		
۱۴۴	۱	۵۲	۶۶	۲۳	۲	تعداد	کل	
۱۰۰	۰/۶۹	۳۶/۱۳	۴۵/۸۳	۱۵/۹۶	۱/۳۹	درصد		

فصلنامه پژوهش‌های روستایی

منبع: یافته‌های تحقیق، ۱۴۰۲

جدول ۷. توزیع فراوانی تابآوری روستاهای ناحیه جلگه‌ای، کوهپایه‌ای و کوهستانی شهرستان املش در برابر زمین‌لغزش به روش جمع وزنی (WS).

جمع	میزان تابآوری						ناحیه	روش
	خیلی زیاد	زیاد	متوسط	کم	خیلی کم			
۶۹	۱۲	۳۳	۱۸	۱	۵	تعداد	جلگه‌ای	جمع وزنی (WS)
۴۷/۹۲	۸/۲۳	۲۲/۹۲	۱۲/۵	۰/۶۹	۳/۴۷	درصد		
۳۳	۲	۱۰	۱۰	۵	۷	تعداد	کوهپایه‌ای	
۲۳/۶۱	۱/۳۹	۶/۹۴	۶/۹۴	۳/۴۷	۴/۸۶	درصد		
۴۱	۰	۲۰	۹	۶	۶	تعداد	کوهستانی	
۲۸/۴۷	۰	۱۳/۸۹	۶/۲۵	۴/۱۷	۴/۱۷	درصد		
۱۴۴	۱۴	۶۳	۳۷	۱۲	۱۸	تعداد	کل	
۱۰۰	۹/۷۳	۴۳/۷۵	۲۵/۶۹	۸/۲۳	۱۲/۵	درصد		

فصلنامه پژوهش‌های روستایی

منبع: یافته‌های تحقیق، ۱۴۰۲

جدول ۸. توزیع فراوانی تابآوری روستاهای ناحیه جلگه‌ای، کوهپایه‌ای و کوهستانی شهرستان املش در برابر زمین‌لغزش به روش همپوشانی (IO).

جمع	میزان تابآوری						ناحیه	روش
	خیلی زیاد	زیاد	متوسط	کم	خیلی کم			
۶۹	۱۱	۲۷	۶	۵	۰	تعداد	جلگه‌ای	
۴۷/۹۲	۷/۶۴	۳۲/۶۴	۴/۱۷	۳/۴۷	۰	درصد	جلگه‌ای	
۳۴	۱	۱۵	۱۰	۶	۲	تعداد	کوهپایه‌ای	
۲۳/۶۱	۰/۶۹	۱۰/۲۲	۶/۹۳	۴/۱۷	۱/۳۹	درصد	کوهپایه‌ای	شاخص همپوشانی (IO)
۴۱	۳	۲۱	۱۱	۶	۰	تعداد	کوهستانی	
۲۸/۴۷	۲/۰۸	۱۴/۵۸	۷/۶۴	۴/۱۷	۰	درصد	کوهستانی	
۱۴۴	۱۵	۸۳	۲۷	۱۷	۲	تعداد	کل	
۱۰۰	۱۰/۴۲	۵۷/۶۴	۱۸/۷۵	۱۱/۸	۱/۳۹	درصد	کل	

فصلنامه پژوهش‌های روانی

منبع: یافته‌های تحقیق، ۱۴۰۲

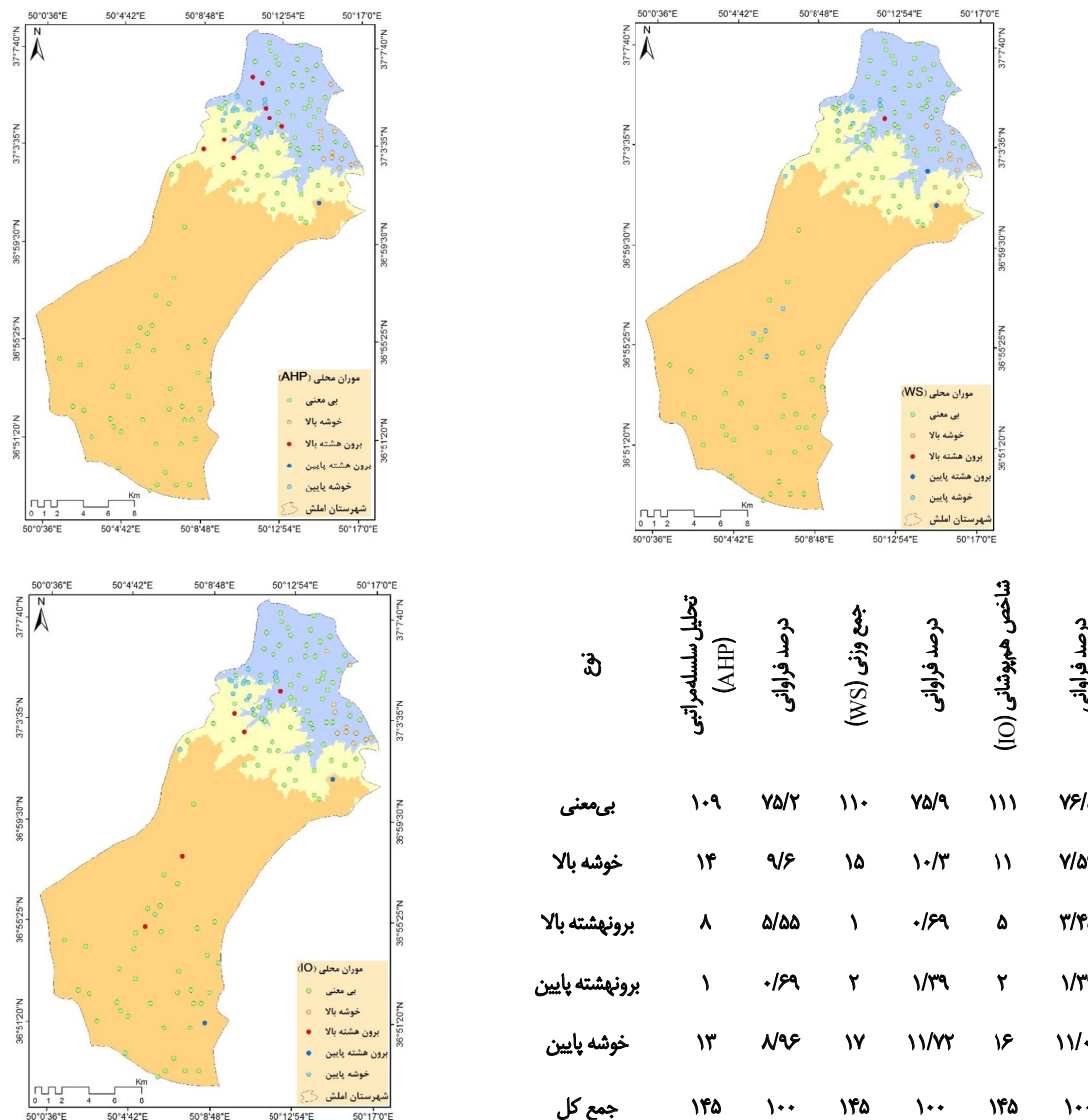
راستا الگوی خوشهای بالا-بالا (HH) و پایین-پایین (LL) آماره اموران محلی شاخص همپوشانی (IO) به ترتیب ناحیه شمال شرقی و شمال غرب شهرستان را در برمی‌گیرند. روستاهای این دو الگو در ناحیه جلگه‌ای، کوهپایه‌ای و کوهستانی قرار دارند. بیشتر روستاهای این ناحیه نسبت به این آماره رفتار تصادفی نشان داده و بیمعنی بودن هر نوع الگو در میزان تابآوری را تأیید می‌کند. به طور کلی الگوی خوشهای بالا-بالا و پایین-پایین در هر سه مدل موربررسی در شمال شرق و شمال غرب شهرستان املش تشکیل شده و کانون و هسته اصلی ایجاد این دو الگو است. درنتیجه تابآوری بالا منطبق بر روستاهای با خوشه HH و تابآوری پایین نیز منطبق بر روستاهای با خوشه LL است. در تصویر شماره ۴، اطلاعات مربوط به نوع خوشه و تعداد روستاهای هر خوشه در سه مدل آورده شده است.

در تصویر شماره ۵، نتایج محاسبه تحلیل نقاط داغ میزان تابآوری سکونتگاه‌های روستایی برای سه مدل WS، AHP و IO نشان داده شده است. همان‌گونه که گفته شد اگر مقدار Z مثبت و از نظر آماری معنی دار باشد، نشان دهنده این است که مقدار اطراف نقطه A بالاتر از مقدار متوسط است و به منطقه نقاط داغ با خوشه‌های بالا ارزش بالا تعلق دارد. در غیر این صورت، متعلق به منطقه L که سرد با خوشه‌های کم ارزش است. مقدار Z با سطح اطمینان ۹۹ و ۹۰ به ترتیب برابر با  $\pm 3$  و  $\pm 2$  و  $\pm 1$  برای نقاط داغ و سرد بوده و برای نقاط داغ مثبت و نقاط سرد منفی در نظر گرفته می‌شود. تحلیل نقاط داغ بر روی میزان تابآوری سکونتگاه‌های روستایی املش به روش تحلیل سلسه‌مرانی نشان می‌دهد که کانون نقاط داغ میزان تابآوری در شمال شرق شهرستان و کانون نقاط سرد در شمال غرب آن واقع است که این نقاط با Z برابر با  $\pm 3$  معنی دار است. در ناحیه کوهستانی این شهرستان بیمعنی بودن تحلیل نقاط داغ کاملاً

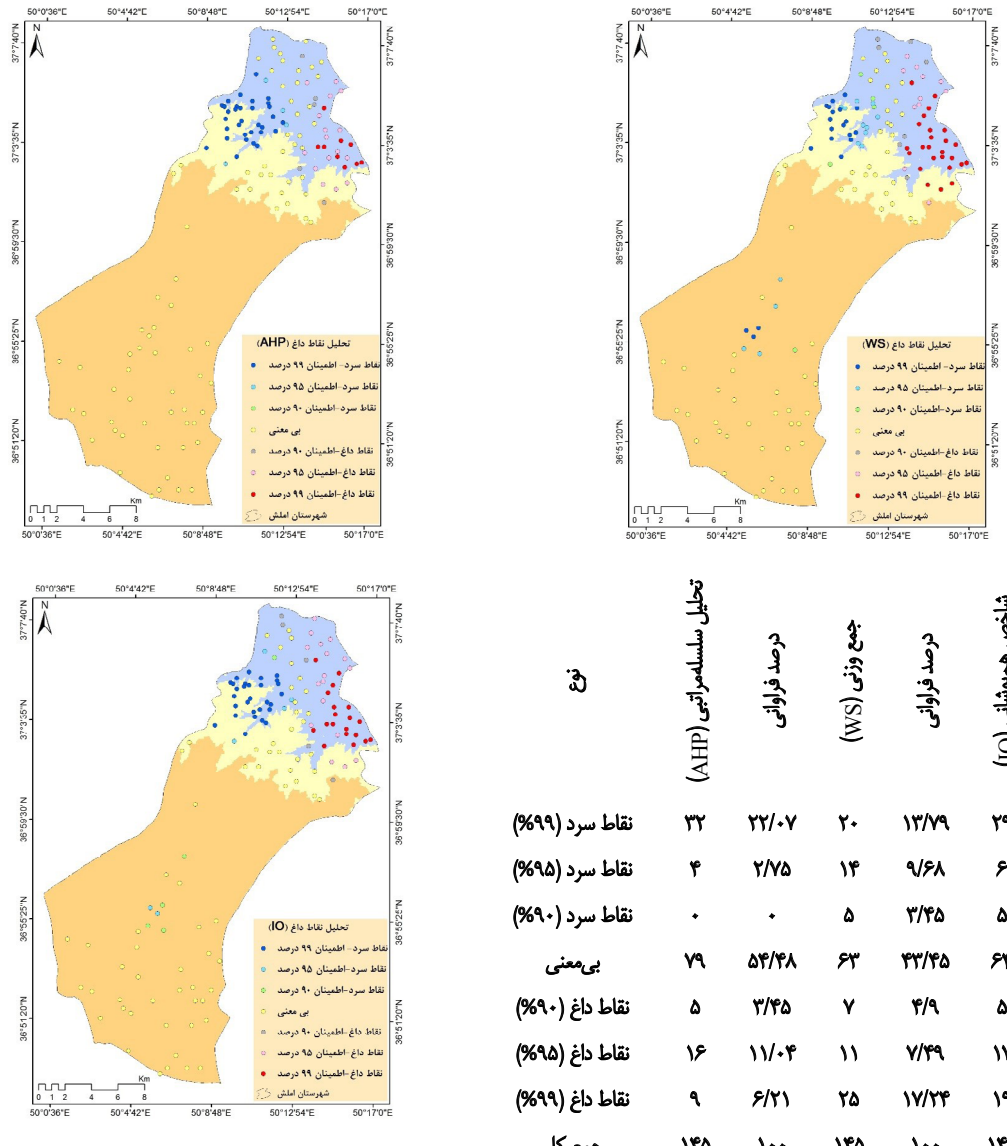
در تصویر شماره ۴، خوشه‌ها و ناخوشه‌های فضایی هر یک از شاخص‌های تحلیل سلسه‌مرانی (AHP)، جمع وزنی (WS) و شاخص همپوشانی (IO) به روش اموران محلی نشان داده شده است. نتایج شاخص اموران محلی مقادیر AHP بیانگر آن است که خوشه بالا-بالا (HH) در شمال شرقی محدوده مورده مطالعه قرار دارد. به عبارت دیگر روستاهای با تابآوری بالا در ناحیه جلگه‌ای و کوهپایه‌ای شمال شرق شهرستان املش واقع بوده و دارای الگوی خوشهای HH است. در مقابل آن یعنی شمال غرب محدوده شهرستان نیز الگوی خوشهای پایین-پایین (LL) بر مقادیر AHP حاکم بوده و بیشتر روستاهای این خوشه از نوع پایکوهی هستند. تعدادی روستا از الگوی خوشهای خاصی پیروی نکرده و جزء روستاهای برونهشته بالا و پایین محسوب می‌شوند. روستاهای برونهشته بالا در شمال غرب شهرستان بین نقاط روستایی با خوشه پایین-پایین و به صورت پراکنده قرار گرفته و از الگوی مشخصی پیروی نمی‌کنند. به عبارت دیگر مقادیر برونهشته بالا توسط مقادیر پایین-پایین (LL) و تنها روستای برونهشته پایین در شمال شرق محدوده توسط مقادیر خوشهای بالا-بالا (HH) احاطه شده است. همچنین بیشتر روستاهای واقع در ناحیه جلگه‌ای، کوهپایه‌ای و کوهستانی از الگوی خاصی تبعیت نکرده و دارای رفتار تصادفی هستند. نتایج به دست آمده از اجرای اموران محلی بر روی شاخص جمع وزنی (WS) نشان می‌دهد که اکثر روستاهای شهرستان املش از الگوی خاصی پیروی نمی‌کنند. اما الگوی خوشهای بالا-بالا همانند شاخص AHP در شمال شرقی شهرستان در ناحیه جلگه‌ای و کوهپایه‌ای قابل مشاهده است. خوشه پایین-پایین (LL) علاوه بر ناحیه جلگه‌ای و کوهپایه‌ای شمال غرب شهرستان، در بخش مرکزی ناحیه کوهستانی تشکیل شده است. روستاهای برونهشته در هر دو حالت بالا و پایین به ترتیب ۱ و ۲ روستا از ۱۴۵ روستا را شامل می‌شوند. در همین

مدل با مدل تحلیل سلسله‌مراتبی تفاوت چندانی نداشته و قواعد حاکم بر تحلیل نقاط داغ در مدل AHP در مورد دو مدل WS و 10 صدق می‌کند. درنهایت باید گفت تکنیک‌های آماری مبتنی بر GIS، فرستی برای کمی کردن الگوی توزیع میزان تاب‌آوری سکونتگاه‌های روستایی فراهم کرده و اطلاعات مفیدی از شرایط آسیب‌پذیری و تاب‌آوری کالبدی آن‌هاز بعد فضایی ارائه می‌کنند.

واضح بوده و نشان از تاب‌آوری متوسط نقاط روستایی این بخش دارد. تعداد زیادی از روستاهای ناحیه جلگه‌ای در محدوده Z برابر با  $+2$  قرار دارند. بهطور کلی اکثر نقاط داغ و سرد شهرستان به صورت الگوی خوش‌های در ناحیه جلگه‌ای و کوهپایه‌ای شمال شهرستان قابل مشاهده هستند. اجرای تحلیل نقاط داغ بر روی میزان تاب‌آوری سکونتگاه‌های روستایی شهرستان به دو روش جمع وزنی و شاخص همپوشانی نشان می‌دهد که نتایج این دو



تصویر ۴. شاخص اموران محلی میزان تاب‌آوری روستاهای شهرستان املش نسبت به پدیده زمین‌لغزش با استفاده از روش تحلیل سلسله‌مراتبی (AHP)، جمع وزنی (WS) و شاخص همپوشانی (IO). منبع: یافته‌های تحقیق، ۱۴۰۲



تصویر ۵. شاخص تحلیل نقاط داغ (G\* گتیس-اورد) میزان تابآوری روستاهای شهرستان املش نسبت به پدیده زمین لغزش با استفاده از روش تحلیل سلسه‌مراتبی (AHP)، جمع وزنی (WS) و شاخص همپوشانی (IO).

فصلنامه پژوهش‌های روستایی

ناحیه جلگه‌ای و کوهپایه‌ای شمال شرق شهرستان و روستاهای با تابآوری پایین در ناحیه جلگه‌ای و کوهپایه‌ای شمال غرب آن قرار گرفتند. در مناطق کوهستانی اکثر روستاهای از میزان تابآوری خوبی در مقابل پدیده زمین لغزش در هر سه مدل موردنظر برخوردار بودند. در همین راستا الگوی فضایی میزان تابآوری سکونتگاه‌های روستایی به روش شاخص اموران محلی نشان داد که میزان تابآوری روستاهای بخش شمال شرق شهرستان در مدل‌های موردنرسی از نوع الگوی خوشای بالا-بالا (HH) و الگوی خوشای پایین-پایین (LL) در بخش شمال غرب آن است که کاملاً منطبق بر نقاط روستایی با تابآوری خیلی زیاد و خیلی کم هستند. سایر نقاط روستایی در ناحیه

## بحث و نتیجه‌گیری

در این پژوهش الگوی فضایی میزان تابآوری کالبدی سکونتگاه‌های ۱۴۵ روستای شهرستان املش در مقابل زمین لغزش به سه روش تحلیل سلسه‌مراتبی (AHP)، جمع وزنی (WS) و شاخص همپوشانی (IO) مورد بررسی و تحلیل قرار گرفت. بدین منظور از ۱۰ معیار شیب، فاصله از گسل، کیفیت اینجی، مواد و مصالح، عمر ساختمان، لرزه‌خیزی، زمین‌شناسی، جهت شیب، عرض معاشر و ارتفاع به ترتیب اهمیت استفاده شد. در این راستا میزان تابآوری سکونتگاه‌های شهرستان املش با استفاده از سه مدل نشان داد که روستاهای با تابآوری بالا در

جلگه، کوهپایه و کوهستان شهرستان املش از الگوی خاصی پیروی نکرده و دارای رفتار تصادفی و بی معنی بودند. همین طور نتایج بدست آمده از تحلیل نقاط داغ ( $G^*$ -گتیس-اورد) بر روی میزان تابآوری کالبدی سکونتگاه‌های روستایی در هر سه مدل AHP، WS و IO مؤید این مطلب است که نقاط داغ و سرد میزان تابآوری به ترتیب در ناحیه جلگه‌ای و کوهپایه‌ای شمال شرق و شمال غرب شهرستان قرار دارد و این مهم نیز در سطح اطمینان ۹۹ درصد با میزان انحراف معیار<sup>۳</sup> برای نقاط داغ و ۳- برای نقاط سرد تأیید گردید. از این‌رو کانون و هسته اصلی حداقل و حداقل تابآوری در نیمه شمالی این شهرستان واقع است، به‌طوری‌که در فاصله نسبتاً نزدیک به هم و در راستای عرض جغرافیایی یکسان قرار دارند. البته در ناحیه کوهستانی در برخی از روستا نیز کانون هسته سرد با سطح اطمینان ۹۵ درصد و انحراف معیار<sup>۴</sup> مشاهده می‌شود که باید مورد توجه قرار گیرند. بنابراین شرایط تابآوری روستاهای در مقابل زمین‌لغزش بین نواحی جلگه‌ای، کوهپایه‌ای و کوهستانی به‌طور معنی‌داری متفاوت است. اگرچه تفاوت قابل توجهی در تابآوری روستاهای بخش شمالی شهرستان املش وجود دارد و الگوهای خوش‌های نیز این موضوع را تأیید می‌کنند، اما بخش اعظم روستاهای این ناحیه به دلیل برخورداری از تابآوری متوسط یا نزدیک به میانگین، رفتار تصادفی حاکم بوده و در هر سه ناحیه جلگه‌ای، کوهپایه‌ای و کوهستانی توزیع شده‌اند.

#### تشکر و قدردانی

مقاله برگرفته از رساله دکتری نویسنده اول در گروه جغرافیا، دانشکده علوم انسانی، دانشگاه آزاد اسلامی واحد رشت است.

## References

- Alijani, B. (2018). Quantitative methodology in geography. Tehran: Samt Publications. (In Persian)
- Anabestani, A., Javanshir, M., Mahmoudi, H., Darban Astaneh, M. (2016). Spatial Analysis of Villagers' Resilience Against Environmental Hazards (A Case Study of Central District of Faruj County). *Journal of Spatial Analysis Environmental Hazards*, 5(1), 17-38. (In Persian) doi:10.29252/jsaeh.5.1.17.
- Asghari Saraskanrood, S., Emami, R., & Piroozi, E. (2021). Evaluation and zonation of Landslide hazard with using OWA and ANN methods (Case study: Paveh Township). *Journal of Natural Environmental Hazards*, 10(28), 131-150. (In Persian) doi: 10.22111/jneh.2021.33729.1645.
- Badri, S.A., Karimzadeh, H., Saadi, S., Kazemi, N. (2019). Analysis of Rural Settlements Resilience against Earthquake (Case Study: Marivan County). *Journal of Spatial Analysis Environmental Hazards*, 6(1), 1-16. (In Persian) doi:10.29 252/jsaeh.6.1.1.
- Berry, R., Vigani, M., & Urquhart, J. (2022). Economic resilience of agriculture in England and Wales: a spatial analysis. *Journal of Maps*, 18(1), 70-78. doi.org/10.1080/17445647.2022.2072242.
- Chirisa, I., & Nel, V. (2022). Resilience Thinking in the Rural Human Settlements' Development and Management. *International Journal of Rural Management*, 18 (1), 146-160. doi:10.1177/0973005221100 1674.
- Cutter, S.L., Barnes, L., Berry, M., Burton, C., Evans, E., Tate, E., & Webb, J. (2008). A place-based model for understanding community resilience to natural disasters. *Glob. Environ.*, 18, 598-606. doi.org/10.1016/j.gloenvcha.2008.07.013.
- Eidsvig, U.M.K., McLean, A., Vangelsten, B.V., Kalsnes, B., Ciurean, R.L., Argyroudis, S., Winter, M.G., Mavrouli, O.C., Fotopoulos, S., Pitilakis, K., et al. (2014). Assessment of socio-economic vulnerability to landslides using an indicator-based approach: Methodology and case studies. *Bull. Eng. Geol. Environ.* 73, 307-324. doi:10.1007/s10064-014-0571-2.
- Entezari, M., & Kordavani, M. (2022). Landslide hazard zoning using GIS-based methods and radar data (Case study: Fereydoon Shahr). *Journal of Natural Environmental Hazards*, 11(33), 177-196. (In Persian) doi:10.22111/jneh.2022.38660.1810.
- Fakhrghazi, M., Pourramzan, E., & Molaei Hashtjin, N. (2022). Spatial Analysis of Social Resilience of Rural Settlements against Earthquake Risk (Case study: villages of Avaj County). *Geographical Engineering of Territory*, 6(2), 309-325. (In Persian) doi: 20.1001.1.25381490.1401.6.11.1.8.
- Farzad Behtash, M. R., Keynejhad, M. A., Taghi Pirbabaei, M., & Asgary, A. (2013). Evaluation and Analysis of Dimensions and Components of Tabriz Metropolis Resiliency. *Journal of Fine Arts: Architecture & Urban Planning*, 18(3), 33-42. (In Persian) doi: 10.22059/jfaup.2013.51316.
- Frazier, T.G., Thompson, C.M., Dezzani, R.J., & Butsick, D. (2013). Spatial and temporal quantification of resilience at the community scale. *Applied Geography*, 42, 95-107. doi: 10.1016/j.apgeog.2013.05.004.
- Frigerio, I., Ventura, S., Strigaro, D., Mattavelli, M., Amicis, M.D., Mugnano, S., Boffi, M. (2016). A GIS-based approach to identify the spatial variability of social vulnerability to seismic hazard in Italy. *Applied Geography*, 74, 12-22. doi: 10.1016/j.apgeog.2016.06.014.
- Fotohi, S., Alinia, H., Firozi, F., Bakhtshipoor, J., & Rakhshani, Z. (2013). The Positioning of Areas Susceptible of Landslide (A Case Study: The North of Neyshaboor). *Journal of Natural Environmental Hazards*, 2(3), 61-75. (In Persian) doi: 10.22111/jneh.2013.2462.
- Ge, D., Zheng, Y., Zhang, Sh., Fu, J., & Su, F. (2022). Spatio-Temporal Pattern and Influence Mechanism of Rural Human Settlements System Resilience: Case from China. *Sustainability*, 14, 1-24. doi.org/10.3390/su142114533.
- Heidarimozaffar, M., & TajBakhshian, M. (2022). Zoning the Vulnerability of Nahavand Settlements to Earthquakes. *Journal of Natural Environmental Hazards*, 11(34), 57-78. (In Persian) doi: 10.22111/jneh.2022.39334.1830.
- Keikha, Z., Bazrafshan, J., Ghanbari, S., & Keikha, A. (2022). Spatial analysis of the extent to which the local community has effective physical-environmental indicators resilience to environmental hazards (Case study: villages of Sistan region). *Village and Space Sustainable Development*, 3(3), 20-34. (In Persian) doi: 10.22077/vssd.2022.5054.1075.
- Kor, A., Balali, H., Movahedi, R., & Sharifzadeh, M. (2023). Examining the Components and Indicators of Economic Resilience of Farmers Against Climate Disasters. *Journal of Rural Research*, 14(2), 200-217. doi: 10.22059/jrur.2023.92915.
- Khosravi Mal Amiri, H., Soleimani, H., Ghaffari, S. R., & Khadem al-Hosseini, A. (2020). Explanation of resilience pattern of rural settlements in Izeh County (Dehdez district). *Physical Social Planning*, 7(1), 131-145. (In Persian) doi: 10.30473/psp.2020.6803.
- Kwazu, G. C., & Chang Richards, A. (2022). A tool to assess livelihood preparedness for disasters: a study of Kaikoura earthquake in New Zealand. *Natural Hazards*, 113, 745-766. doi.org/10.1007/s11069-022-05322-x.
- Li, Y., Song, C., & Huang, H. (2021). Rural Resilience in China and Key Restriction Factor Detection. *Sustainability*, 13(3), 1080. doi.org/10.3390/su13031080.
- Liang, T.C., & Peng, S.H. (2017). Using Analytic Hierarchy Process to Examine the Success Factors of Autonomous Landscape Development in Rural Communities. *Sustainability*, 9(5), 729. doi: 10.3390/su9050729.
- Mavhura, E., & Manyena, B. (2018). Spatial quantification of community resilience in contexts where quantitative data are scarce: The case of Muzarabani district in Zimbabwe. *Geo: Geography and Environment*, 5(2), 1-20. doi.org/10.1002/geo2.65.
- Management and Planning Organization of Guilan Province. (2017). Statistical yearbook of Guilan province. Deputy of statistics and information.
- Mirsanjari, M. M. M., Ildoromi, A. I., Abedian, S. A., & Alimohamadi, A. A. (2018). Landslide hazard zonation using LNRF model (Case study: Ghomroud- Aligudarz basin). *Journal of*

- Natural Environmental Hazards, 7(18), 109-130. (In Persian) doi: 10.22111/jneh.2018.20280.1253.
- Nazari, A. H., Taleshi, M., Mirzaali, M. (2018). Analysis and Measurement of Environmental Resilience of Villages in Gorganrud Watershed against Flood (Golestan province, Iran). Journal of Spatial Analysis Environmental Hazards, 6(1), 31-50. (In Persian) doi: 10.29252/jsaeh.6.1.3.
- Noori, S. H., & Sepahvand, F. (2016). Analysis of Rural Area Resilience against Earthquake; Case Study: Shirvan District (Boroujerd County). Journal of Rural Research, 7(2), 272-285. (In Persian) dor: 20.1001.1. 20087373.1395.7.2.1.4.
- Noori, H., & Nowrozi Avargani, A. (2016). Basics of environmental planning for sustainable rural development. Isfahan: University of Isfahan Publications. (In Persian)
- Rezaei, M R., & Kavianpour, G. (2015). Assessing the level of social and physical-environmental resilience of urban neighborhoods in the face of natural disasters (earthquake), case study: Mashhad metropolis. The third national conference on crisis management and HSE in vital arteries, industries and urban management, Tehran. (In Persian) <https://civilica.com/doc/561760>.
- Roustaei, S., Hoseyni haghi, V., & Gedari, A. (2019). Assessing the physical resilience of urban environments against earthquakes (a case study of Tabriz metropolis). Social Research, 11(43), 121-141. (In Persian) [https://jsr.riau.ac.ir/article\\_1582.html?lang=en](https://jsr.riau.ac.ir/article_1582.html?lang=en).
- Rudiarto, I., Handayani, W., Wijaya, H B., & Insani, T D. (2019). Rural Livelihood Resilience: An Assessment of Social, Economic, Environment, and Physical Dimensions. MATEC Web of Conferences 280. doi.org/10.1051/matecconf/201928001002.
- Salehi, E., Aghababaei, M. T., Sarmadi, H., & Farzad Behtash, M. R. (2011). Considering the Environment Resilien-cy by Use of Cause Model. Journal of Environmental Studies, 37(59), 99-112. (In Persian) [https://jes.ut.ac.ir/?\\_action=article&au](https://jes.ut.ac.ir/?_action=article&au).
- Su, Q., Chang, H-Sh., & Pai, Sh-E. (2022). A Comparative Study of the Resilience of Urban and Rural Areas under Climate Change. International Journal of Environmental Research and Public Health, 19, 8911, doi.org/10.3390/ijerph19158911.
- Sung, C H., & Liaw, S.C. (2021). Using Spatial Pattern Analysis to Explore the Relationship between Vulnerability and Resilience to Natural Hazards. International Journal of Environmental Research and Public Health, 18, 5634. <https://doi.org/10.3390/ijerph18115634>.
- Tayebnia, S. H., & Ebrahimipour, F. (2021). Measurement of resilience coefficient of rural areas against earth-quakes using multivariate model (FAHP) and (GIS) (Case study: Dolat Abad County, Jiroft Township). Village and Space Sustainable Development, 2(1), 59-80. (In Persian) doi: 10.22077/vssd.2021.4504.1033.
- W.S, D., & J.L, W. (2005). Statistical analysis of geographic information with ArcView GIS& ArcGIS. Translation by: Mahmood Roshani; Parviz Rezaei & Sedighe Ganji, Rasht: Publications of the Environmental Research Institute of Jihad University. (In Persian)
- Zhou, Y., Li, N., Wu, W., Wu, J., & Shi, P. (2014). Local spatial and temporal factors influencing population and societal vulnerability to natural disasters. Risk Anal, 34, 614-639. doi: 10.1111/risa.12193.